

ออกแบบระบบควบคุมรถเก็บขยะอัตโนมัติ



สาขาวิชาวิศวกรรมเมคคาทรอนิกส์  
สำนักวิชาวิศวกรรมศาสตร์ มหาวิทยาลัยเทคโนโลยีสุรนารี

โครงการนี้เป็นส่วนหนึ่งของการศึกษาตามหลักสูตรปริญญาวิศวกรรมศาสตรบัณฑิต

สาขาวิชาวิศวกรรมเมคคาทรอนิกส์

สำนักวิชาวิศวกรรมศาสตร์

มหาวิทยาลัยเทคโนโลยีสุรนารี

ปีการศึกษา 2/2562

ชื่อโครงการ ออกแบบระบบความคุมรถเก็บขยะอัตโนมัติ  
(DESIGN OF AN AUTOMATIC WASTE COLLECTION TRUCK  
CONTROL SYSTEM)

ชื่อนักศึกษา นายสุรสิทธิ์ ชาวสวน  
นายอศวนนท์ แสงสูงเนิน  
นายยุทธนา น้อยโลกสูง

อาจารย์ที่ปรึกษา อาจารย์ ดร. โสรฎา แจ้งการ



จากปัญหาของขยะที่เกิดขึ้นอย่างมากมายหลังจากการจัดกิจกรรมหรืองานต่างๆซึ่งปัญหาเกิดจากคนที่ไม่มีความวินัยและปริมาณถึงขยะอาจจะไม่เพียงพอซึ่งในการเก็บขยะนั้นๆใช้เวลานานและใช้กำลังคนจำนวนมากอาจจะเกิดการจ้างงานและมีค่าใช้จ่ายเกิดขึ้นในการเก็บขยะหลังจากการจัดกิจกรรมหรืองานต่างๆดังนั้นทางคณะผู้จัดทำโปรเจกต์จึงมีแนวคิดที่จะหาวิธีเก็บขยะเพื่อทดแทนการจ้างงานและลดเวลาในการเก็บขยะจึงได้สร้างรถเก็บขยะอัตโนมัติขึ้นมาโดยชิ้นงานจริงนั้นแบ่งออกเป็น 2 ส่วนในการจัดทำคือในส่วนของระบบกลไกและในส่วนของระบบควบคุมในส่วนนี้คณะผู้จัดทำได้ทำในส่วนของระบบควบคุมซึ่งในระบบควบคุมนั้นเป็นระบบควบคุมอัตโนมัติด้วยสัญญาณ GPS จาก Board ARDUPILOT ซึ่งอ้างอิงพิกัดเส้นทางจาก Google Map ให้รถเก็บขยะวิ่งตามเส้นทางที่กำหนดและเก็บขยะในเวลาเดียวกันในส่วนรัศมีในการสั่งงานได้ไกลจากผู้ควบคุม 300-500 เมตร ในการสั่งงานผู้ควบคุมจะใช้ Software waypoint ในการ Download ข้อมูลเส้นทาง ผลที่ได้จากโครงการคือชิ้นงานรถเก็บขยะ 1 คันและสามารถเก็บขยะอัตโนมัติได้จริง

Title DESIGN OF AN AUTOMATIC WASTE COLLECTION CONTROL SYSTEM

Author SURASEE CHOWSUAN  
ASSAVANON SANGSUNGNOEN  
YUTTANA NOIKOKSUNG

Advisor Dr. SORADA KHAENGGKARN

#### Abstract

From the problem of the garbage that occurred a lot after activities or events, which caused the lack of discipline and the amount of trash may not be enough to collect the garbage that takes a long time and using a lot of manpower, may be hiring and costs incurred in garbage collection after activities or work the project team therefore has an idea to find ways to collect waste in order to replace employment and reduce the time to collect garbage, therefore has created an automatic garbage collection truck. The actual work is divided into 2 parts to Prepared, namely the mechanical system and the control system in this part, the organizers can do in the part of the control system, in which the control system is automatically controlled by GPS signal from Board ARDUPILOT, which refer to the route coordinates from Google map, the garbage truck runs along the specified route and waste collection at the same time. In the radius of the command is 300-500 meters away from the controller. In the command, the controller will use the software waypoint to download the route information. The result of the project is a piece of garbage collection truck and can actually collect rubbish automatically.

## กิตติกรรมประกาศ

การจัดทำโครงการการออกแบบและสร้างรถเก็บขยะอัตโนมัติครั้งนี้สำเร็จได้อย่างสมบูรณ์ เนื่องจากการอนุเคราะห์อย่างดียิ่งจากอาจารย์ดร. โสรวุฒา แข็งการ ที่ได้ชี้แนะข้อบกพร่องให้การช่วยเหลือเกี่ยวกับการดำเนินโครงการด้วยความเอาใจใส่ติดตามงาน ตลอดจนสนับสนุนคณะผู้จัดทำให้มีความสามารถในการทำงานครั้งนี้จนสำเร็จไปด้วยดี

ขอขอบคุณคณะอาจารย์และบุคลากรสาขาวิศวกรรมเมคคาทรอนิกส์ทุกท่านที่ให้ความช่วยเหลือคณะผู้จัดทำมาโดยตลอด

คณะผู้จัดทำใคร่ขอขอบพระคุณทุกๆ ท่านที่ได้กล่าวไปแล้ว ณ ที่นี้ สำหรับคุณค่าและประโยชน์ของโครงการนี้ ขออุทิศให้แก่อาจารย์ทุกท่านที่ได้ประสิทธิ์ประสาทวิชาความรู้แก่คณะผู้จัดทำ

สาขาวิชาวิศวกรรมเมคคาทรอนิกส์ อัครนนท์ แสงสูงเนิน  
สุรสิทธิ์ ชาวสวน

สำนักวิชาวิศวกรรมศาสตร์ มหาวิทยาลัยเทคโนโลยีสุรนารี ยุทธนา น้อยโลกสูง

## สารบัญ

	หน้า
บทคัดย่อ(ภาษาไทย)	ก
บทคัดย่อ(ภาษาอังกฤษ)	ข
กิตติกรรมประกาศ	ค
สารบัญ	ง
สารบัญตาราง	ช
สารบัญรูปภาพ	ซ
บทที่ 1 บทนำ	1
วัตถุประสงค์	1
ขอบเขตโครงการ	1
ขั้นตอนดำเนินงาน	2
ผลที่คาดว่าจะได้รับ	2
บทที่ 2 ทฤษฎีและเนื้อหาที่เกี่ยวข้อง	3
ทฤษฎีระบบควบคุม	3
ระบบควบคุมยุคโบราณ	4
จุดกำเนิดทฤษฎีระบบควบคุม	5
แบบจำลองคณิตศาสตร์ของระบบควบคุม	5
ทฤษฎีเสถียรภาพ	5
ระบบควบคุมแบบดั้งเดิม	6
ระบบควบคุมแบบใหม่	7
ข้อจำกัดของระบบควบคุมแบบดั้งเดิมต่องานอากาศยาน	7
การประยุกต์ใช้คอมพิวเตอร์กับงานระบบควบคุม	8

สาขาวิชาวิศวกรรมเมคคาทรอนิกส์

สำนักวิทยบริการและเทคโนโลยีสารสนเทศ มหาวิทยาลัยเทคโนโลยีสุรนารี

## สารบัญ(ต่อ)

	หน้า
ประเภทของระบบควบคุม	10
ระบบควบคุมวงจรมงจรปิด	11
ตัวควบคุม PID	12
จีพีเอส (GPS Technology)	16
หน้าที่สำคัญของดาวเทียม GPS	20
การทำงานของระบบนำทางด้วย GPS	21
ประโยชน์หลักของ GPS	22
รูปแบบการส่งข้อมูลของดาวเทียม GPS	23
Arduipilot	25
Processing	27
Sensor	28
Powering Up APM Board	29
Digital and Analog I/O	30
Others	31
<b>สำนักวิช วิศวกรรมศาสตร์ มหาวิทยาลัยเทคโนโลยีสุรนารี</b>	
บทที่3 ขั้นตอนการดำเนินงาน	41
เตรียมอุปกรณ์หลัก	41
ขั้นตอนการสอบเทียบ	42
การคำนวณระยะห่างของตำแหน่ง GPS 2จุด	51
บทที่4 ผลการทดลองและวิเคราะห์ผล	54

สารบัญ(ต่อ)

	หน้า
ผลการทดลอง	55
วิจารณ์ผล	58
บทที่ ๖	
สรุปและข้อเสนอแนะ	59
สรุปผลการดำเนินงาน	59
ผลที่ได้จากการทดลอง	59
ปัญหาที่พบเจอ	59
ข้อเสนอแนะ	60
แนวทางการพัฒนาในอนาคต	60
เอกสารอ้างอิง	61
ภาคผนวก	62
ประวัติผู้เขียน	66

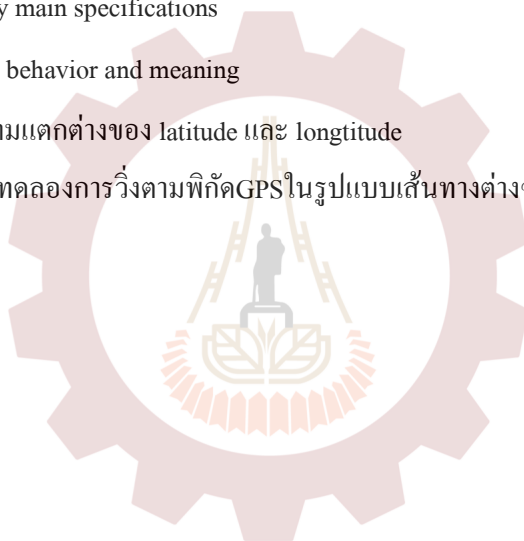


สาขาวิชาวิศวกรรมเมคคาทรอนิกส์

สำนักวิชาวิศวกรรมศาสตร์ มหาวิทยาลัยเทคโนโลยีสุรนารี

## สารบัญตาราง

	หน้า
ตารางที่ 2.1 ผลกระทบจากการปรับแต่งค่าพารามิเตอร์ของตัวควบคุม PID	15
ตารางที่ 2.2 APM famiry main specifications	26
ตารางที่ 2.3 APM LEDs behavior and meaning	31
ตารางที่ 3.1 แสดงค่าความแตกต่างของ latitude และ longtitude	50
ตารางที่ 4.1 แสดงผลการทดลองการวิ่งตามพิกัดGPSในรูปแบบเส้นทางต่างๆ	55



สาขาวิชาวิศวกรรมเมคคาทรอนิกส์

สำนักวิชาวิศวกรรมศาสตร์ มหาวิทยาลัยเทคโนโลยีสุรนารี

## สารบัญรูป

	หน้า
รูปที่ 2.1 ลูกเหวี่ยงหนีศูนย์กลาง (centrifugal governor หรือเรียก fly-ball governor)	4
รูปที่ 2.2 ระบบควบคุมแบบวงเปิด	11
รูปที่ 2.3 วงรอบการควบคุม PID	13
รูปที่ 2.4 เอาต์พุตของตัวควบคุม PID เมื่อรับอินพุตแบบขั้นบันได	14
รูปที่ 2.5 ผลตอบสนองของระบบในโดเมน	15
รูปที่ 2.6 หลักการทำงานของ GPS	19
รูปที่ 2.7 การทำงานของระบบนำทางด้วย GPS	21
รูปที่ 2.8 ประโยชน์ของ GPS	22
รูปที่ 2.9 การส่งข้อมูลของดาวเทียม	23
รูปที่ 2.10 uBlox LEA-6H GPS module with on-board compass	26
รูปที่ 2.11 APM 2.6 with enclosure	27
รูปที่ 2.12 APM power module	29
รูปที่ 2.13 APM2.6 dual positive	30
รูปที่ 2.14 Architecture of the whole system	32
รูปที่ 2.15 อุปกรณ์ควบคุมความเร็วและทิศทาง	33
รูปที่ 2.16 Micro Servo Motor SG90 4.8V 1.6kg	34
รูปที่ 2.17 APM Pix Pixhawk	35
รูปที่ 2.18 433 MHz หรือ 915 วิทยูเมกกะเฮิร์ต โมดูลพร้อมเสาอากาศ	37
รูปที่ 2.19 สินค้า Flysky FS-i6X 2.4GHz 6CH AFHDS	39
รูปที่ 3.1 โปรแกรม Mission Planner	41
รูปที่ 3.2 การสอบเทียบทิศทาง	42
รูปที่ 3.3 การสอบเทียบ board และ Jairo sensor	43

สารบัญรูปภาพ(ต่อ)

	หน้า
รูปที่ 3.4 การสอบเทียบรีโหมด	44
รูปที่ 3.5 รูปแบบ Wiring	45
รูปที่ 3.6 การกำหนดเส้นเดินรถ	46
รูปที่ 3.7 รีโหมดควบคุมระยะไกล	47
รูปที่ 3.8 การ connect board	48
รูปที่ 3.9 การ connect เสาอากาศ	48
รูปที่ 3.10 การกำหนดเส้นทางเดินของรถ	49
รูปที่ 3.11 การ Write WPs	49
รูปที่ 3.11 การ Read WPs	50
รูปที่ 4.1 รถเก็บขยะที่สมบูรณ์	54
รูปที่ 4.2 การวิ่งแบบวงกลม	55
รูปที่ 4.3 การวิ่งแบบก้นหอย	56
รูปที่ 4.4 การวิ่งแบบฟันปลา	56
รูปที่ 4.5 การวิ่งแบบตรง	57
รูปที่ 4.6 การวิ่งแบบสี่เหลี่ยมผืนผ้า	57



## บทที่ 1

### บทนำ

รถเก็บขยะอัตโนมัติมีวัตถุประสงค์สำคัญคือช่วยในจัดเก็บขยะที่หล่นอยู่ตามพื้นที่ที่กว้าง หลังจากการจัดกิจกรรมกลางแจ้ง เช่น การจัดงานคอนเสิร์ตหรือการจัดงานกิจกรรมต่างๆในพื้นที่ที่มีบริเวณกว้าง โดยปกติแล้วการเก็บขยะที่กล่าวมาข้างต้นนี้จะนิยมใช้แรงงานคนเก็บเสียเป็นส่วนใหญ่ซึ่งการเก็บขยะในพื้นที่ที่มีบริเวณกว้างและขยะเป็นจำนวนมากนั้นต้องใช้แรงงานคนในเก็บจำนวนมาก และใช้ระยะเวลาในการเก็บค่อนข้างมากรวมไปถึงฝุ่นละอองในพื้นที่ที่เกิดฝุ่นจากการเดินเก็บของคนเป็นจำนวนมากอาจเป็นอันตรายต่อผู้เก็บขยะจากสภาพปัญหาดังกล่าวคณะผู้จัดทำจึงคิดสร้างรถเก็บขยะอัตโนมัตินี้ขึ้นมาใช้ในการจัดเก็บขยะเพื่อลดการใช้แรงงานคนได้ โดยการเก็บขยะจากรถเก็บขยะอัตโนมัตินั้นจะเป็นไปด้วยความสะดวกและปลอดภัยจากฝุ่นละอองรวมไปถึงลดเวลาในการทำความสะดวกเพื่อจะได้ใช้เวลาที่เหลือในการดูแลความสะอาดในพื้นที่อื่นต่อไป

### วัตถุประสงค์

เพื่อศึกษาและออกแบบระบบควบคุมรถเก็บขยะอัตโนมัติโดยใช้การควบคุมการทำงานอัตโนมัติด้วยระบบพิกัด GPS MAP

สำนักวิจัยวิจัยทางวิทยาศาสตร์ มหาวิทยาลัยเทคโนโลยีสุรนารี

### ขอบเขตของโครงการ

- 1) รัศมีในการสั่งงานได้ไกลจากผู้ควบคุม 300-500 เมตร
- 2) สามารถทำการเก็บขยะได้ในพื้นที่ราบไม่มีสิ่งกีดขวาง
- 3) ควบคุมด้วยการส่งสัญญาณจากGPSหรือรีโมทควบคุมระยะไกล
- 4) ทำงานได้ในระบบอัตโนมัติและใช้คนควบคุมด้วยรีโมท
- 5) ทำงานในสภาพอากาศปกติ

### ขั้นตอนการดำเนินงาน

- 1) สืบค้นข้อมูลที่เกี่ยวข้อง
- 2) ออกแบบและสร้าง
- 3) เบิกเงินและจัดซื้อ
- 4) วิเคราะห์ระบบควบคุม
- 5) ปรับปรุงและแก้ไขในส่วนที่ต้องปรับปรุง
- 6) สรุปและเขียนรายงาน

### ประโยชน์ที่คาดว่าจะได้รับ

สามารถนำมาใช้ทดแทนแรงงานที่เป็นส่วนงานราชการหรือบริษัทได้สามารถลดค่าใช้จ่ายจากการที่ต้องจ้างแรงงานคนเพื่อมาเก็บขยะหลังจากกิจกรรมนั้นและลดความยากลำบากและอาการเจ็บป่วยของคนที่ถูกจ้างมาทำงานกลางแจ้งเพราะสภาพอากาศในปัจจุบันอุณหภูมิสูงขึ้นและฝุ่นละอองขณะปฏิบัติงานทำให้ผู้ปฏิบัติงานนั้นอาจจะเจ็บป่วยได้ง่ายโครงการส่วนนี้จึงถูกสร้างขึ้น

สำนักวิชาวิศวกรรมศาสตร์ มหาวิทยาลัยเทคโนโลยีสุรนารี

## บทที่ 2

### ทฤษฎีและเนื้อหาที่เกี่ยวข้อง

#### ทฤษฎีระบบควบคุม

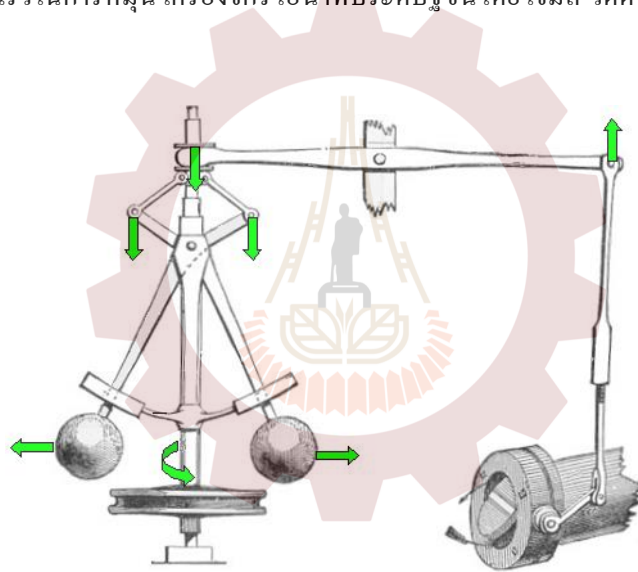
ทฤษฎีระบบควบคุม (Control theory) เป็นสาขาหนึ่งของคณิตศาสตร์และวิศวกรรมศาสตร์ ในที่นี้ การควบคุมหมายถึง การควบคุมระบบพลศาสตร์ ให้มีค่าเอาต์พุตที่ต้องการ โดยการป้อนค่าอินพุตที่เหมาะสมให้กับระบบ ตัวอย่างที่เห็นได้ทั่วไป เช่น ระบบควบคุมอุณหภูมิห้องของเครื่องปรับอากาศ หรือ แม่แต่ลูกลอยในโถส้วม ที่เปิดน้ำปิดน้ำโดยอัตโนมัติเมื่อน้ำหมดและน้ำเต็ม

การควบคุมการขับเคลื่อนยานพาหนะ เช่น รถยนต์ ก็ถือเป็นการควบคุมชนิดหนึ่ง โดยผู้ขับขี่เป็นผู้ควบคุมทิศทางและความเร็ว ซึ่งระบบควบคุมประเภทที่ต้องมีคนเข้ามาเกี่ยวข้องนี้ถือว่าเป็น ระบบควบคุมไม่อัตโนมัติ (Manual control) แต่ทฤษฎีระบบควบคุมจะครอบคลุมเฉพาะการวิเคราะห์และออกแบบ ระบบควบคุมอัตโนมัติ (Automatic control) เท่านั้น เช่น ระบบขับเคลื่อนอัตโนมัติ (Cruise control)

ระบบควบคุมยังอาจแบ่งออกได้เป็นระบบควบคุมวงเปิด (open-loop control) คือ ระบบควบคุมที่ไม่ได้ใช้สัญญาณจากเอาต์พุต มาบ่งชี้ถึงลักษณะการควบคุม ส่วนระบบควบคุมวงปิด (closed-loop control) หรือ ระบบป้อนกลับ (feedback control) นั้นจะใช้ค่าที่วัดจากเอาต์พุต มาคำนวณค่าการควบคุม นอกจากนี้ยังอาจแบ่งได้ตามคุณลักษณะของระบบ เช่น เป็นเชิงเส้น (linear) / ไม่เป็นเชิงเส้น (nonlinear) , แปรเปลี่ยนตามเวลา (time-varying) / ไม่เปลี่ยนแปลงตามเวลา (time-invariant) และ เวลาต่อเนื่อง (Continuous time) / เวลาไม่ต่อเนื่อง (Discontinuous time)

### ระบบควบคุมยุคโบราณ

การใช้ระบบควบคุมวงปิด นั้นมีมาแต่โบราณกาล ตัวอย่างเช่น นาฬิกาของกรีก ซึ่งมีการใช้ลูกกลอยในการควบคุมระดับน้ำในถัง อุปกรณ์ที่ถือว่าเป็นจุดเริ่มต้น ของการใช้ระบบควบคุมป้อนกลับในวงการอุตสาหกรรม ก็คือ ลูกเหวี่ยงหนีศูนย์กลาง (centrifugal governor หรือเรียก fly-ball governor) ในการควบคุมความเร็วในการหมุน เครื่องจักรไอน้ำที่ประดิษฐ์ขึ้น โดย เจมส์ วัตต์ ในปี ค.ศ. 1788



สาขาวิชาวิศวกรรมเมคคาทรอนิกส์

สำนักวิชาวิศวกรรมศาสตร์ มหาวิทยาลัยเทคโนโลยีสุรนารี

รูปที่ 2.1 ลูกเหวี่ยงหนีศูนย์กลาง (centrifugal governor หรือเรียก fly-ball governor)

แสดงหลักการทำงานของลูกเหวี่ยงหนีศูนย์กลางที่เมื่อเครื่องจักรหมุนเร็วเกินกว่าค่าที่ต้องการ ลูกตุ้มจะเบนออกจากแกนกลางส่งผลให้ลิ้นควบคุมไอน้ำปล่อยไอน้ำน้อยลง ในทางกลับกันถ้าเครื่องยนต์หมุนช้าเกินไป ลูกตุ้มจะหุบเข้าหาแกนกลางส่งผลให้ลิ้นควบคุมไอน้ำปล่อยไอน้ำเข้าสู่เครื่องจักรมากขึ้น

## จุดกำเนิดของทฤษฎีระบบควบคุม

### แบบจำลองคณิตศาสตร์ของระบบควบคุม

ในยุคก่อนหน้า การออกแบบระบบควบคุมต่าง ๆ นั้น เป็นไปในลักษณะลองผิดลองถูก ไม่ได้มีการใช้คณิตศาสตร์ในการวิเคราะห์ ออกแบบแต่อย่างใด จนกระทั่งในปี ค.ศ. 1840 นักดาราศาสตร์ชาวอังกฤษ จอร์จ แอริ ได้ประดิษฐ์อุปกรณ์ควบคุมทิศทางของกล้องดูดาว โดยอุปกรณ์นี้จะหมุนกล้องดูดาว เพื่อชดเชยกับการหมุนของโลก โดยอัตโนมัติ ในระหว่างการออกแบบ แอริ ได้สังเกตเห็นความไม่เสถียร (instability) ของระบบป้อนกลับ จึงใช้สมการเชิงอนุพันธ์ในการจำลองและวิเคราะห์พฤติกรรมของระบบ การวิเคราะห์เสถียรภาพของระบบนี้เป็นหัวใจสำคัญของทฤษฎีระบบควบคุม

### ทฤษฎีเสถียรภาพ

ในปี ค.ศ. 1868 เจมส์ เคลิร์ก แมกซ์เวลล์ เป็นบุคคลแรก ที่ทำการศึกษาถึงเสถียรภาพของ ลูกเหวี่ยงหนีศูนย์กลางของ เจมส์ วัตต์ โดยใช้แบบจำลองสมการเชิงอนุพันธ์เชิงเส้น ทฤษฎีเสถียรภาพของระบบเชิงเส้น ของแมกซ์เวลล์นี้ พิจารณาเสถียรภาพของระบบจากรากของสมการคุณลักษณะ (characteristic equation) ของระบบ ต่อมาในปี ค.ศ. 1892 เลียปูนอฟได้ทำการศึกษาถึงเสถียรภาพของระบบไม่เป็นเชิงเส้น และสร้างทฤษฎีเสถียรภาพของเลียปูนอฟ (Lyapunov stability) แต่ทฤษฎีของเลียปูนอฟนี้เป็นทฤษฎีที่สำคัญที่ไม่ได้รับความสนใจ จนกระทั่งหลายสิบปีต่อมา

### ระบบควบคุมแบบดั้งเดิม

**ระบบควบคุมแบบดั้งเดิม** (อังกฤษ: classical control) หมายถึง ระบบควบคุมที่ออกแบบและวิเคราะห์บนโดเมนความถี่ (หรือโดเมนการแปลงฟูรีเย) และโดเมนการแปลงลาปลาซ โดยการใช้แบบจำลองในรูปของ ฟังก์ชันส่งผ่าน (transfer function) โดยไม่ได้ใช้ข้อมูลรายละเอียดของไดนามิกส์ภายในของระบบ (internal system dynamic) พัฒนาการของทฤษฎีระบบควบคุมในช่วงนี้นั้น ส่วนใหญ่พัฒนาขึ้นเพื่อประยุกต์ใช้งานในทางทหารและทางระบบสื่อสาร อันเนื่องมาจากสงครามโลกครั้งที่สอง และการขยายตัวของโครงข่ายสื่อสารโทรศัพท์

**พัฒนาการเพื่อใช้งานในระบบโครงข่ายโทรศัพท์** ในช่วงยุคที่มีการขยายตัวของระบบสื่อสารโทรศัพท์นั้น ระบบสื่อสารทางไกลมีความจำเป็นต้องใช้อุปกรณ์ขยายสัญญาณด้วยหลอดสุญญากาศ ในปี ค.ศ. 1927 แนวความคิดและประโยชน์ของระบบป้อนกลับแบบลบ ได้ถูกนำเสนอในรูปของ อุปกรณ์ขยายสัญญาณป้อนกลับแบบลบ (negative feedback amplifier) โดย เอช. เอส. แบล็ก แต่การวิเคราะห์เสถียรภาพของระบบขยายสัญญาณตามทฤษฎีของแมกซ์เวลล์ โดยใช้วิธีของ เรทท์-ฮิวริทซ์ (Routh-Hurwitz) นั้นเป็นไปได้ยาก เนื่องจากความซับซ้อนของระบบ วิศวกรสื่อสารของ Bell Telephone Laboratories จึงได้นำเสนอการวิเคราะห์บนโดเมนความถี่ โดยในปี ค.ศ. 1932 แฮร์รี่ ไนควิสต์ นำเสนอ เกณฑ์เสถียรภาพของไนควิสต์ (Nyquist stability criterion) ซึ่งใช้วิธีการพล็อตกราฟเชิงขั้ว ของผลตอบสนองความถี่ตลอดวงรอบ (loop frequency response) ของระบบ ต่อมาในปี ค.ศ. 1940 เฮนดริก โบดี ได้นำเสนอวิธีการวิเคราะห์เสถียรภาพโดยขอบเขตอัตราขยาย (gain margin) และขอบเขตมุม (phase margin) จากกราฟระหว่างขนาดและมุม (phase) ของผลตอบสนองความถี่ เรียกว่า โบดีพล็อต (Bode plot)

## ระบบควบคุมสมัยใหม่

ระบบควบคุมสมัยใหม่ (อังกฤษ: modern control) หมายถึง ระบบควบคุมที่ไม่ได้ใช้เทคนิคในการออกแบบแบบดั้งเดิม คือ จาการากของสมการคุณลักษณะ และอยู่บนโดเมนความถี่ แต่เป็นการออกแบบ โดยมีพื้นฐานจากแบบจำลองสมการอนุพันธ์ของไดนามิกส์ของระบบ และเป็นการออกแบบอยู่บนโดเมนเวลาแรงผลักดันของพัฒนาการจากระบบควบคุมแบบดั้งเดิม มาสู่ระบบควบคุมสมัยใหม่ มีอยู่หลัก ๆ 2 ประการคือ

### ข้อจำกัดของระบบควบคุมแบบดั้งเดิมต่องานด้านอวกาศยาน

จากความสำเร็จในการส่งดาวเทียมสปุตนิก 1 ของสหภาพโซเวียตในปี ค.ศ. 1957 นั้นกระตุ้นให้เกิดความตื่นตัวของการประยุกต์ใช้งานทางด้านอวกาศยาน ความสำเร็จของโซเวียตนั้นเนื่องมาจากพัฒนาการทางด้านทฤษฎีระบบควบคุมแบบไม่เป็นเชิงเส้น ซึ่งไม่ได้รับความสนใจมากนักจากประเทศตะวันตก เนื่องจากความล้มเหลวในการใช้เทคนิคต่าง ๆ ของระบบควบคุมแบบดั้งเดิม กับงานด้านอวกาศยาน ซึ่งระบบส่วนใหญ่ นั้น เป็นระบบหลายตัวแปรแบบไม่เป็นเชิงเส้น (nonlinear multivariable system) จึงมีการหันกลับมาพิจารณาการวิเคราะห์จากปัญหาดั้งเดิม ในรูปของแบบจำลองสมการอนุพันธ์ของระบบ

สาขาวิชาวิศวกรรมเมคคาทรอนิกส์

สำนักวิชาวิศวกรรมศาสตร์ มหาวิทยาลัยเทคโนโลยีสุรนารี

## การประยุกต์ใช้คอมพิวเตอร์กับงานระบบควบคุม

บทบาทความหลักที่ระบบควบคุมดิจิทัลพัฒนาการของคอมพิวเตอร์ มีส่วนสำคัญในการพัฒนา ทฤษฎีต่าง ๆ ของระบบควบคุม เนื่องจากทำให้สามารถสร้างอุปกรณ์ควบคุมที่สามารถทำงานซับซ้อน ได้ รวมทั้งการใช้คอมพิวเตอร์ช่วยคำนวณในการออกแบบกฎของการควบคุม ดังนั้นจึงมีการพัฒนา ระบบควบคุมแบบต่าง ๆ ขึ้นอย่างมากมาด้วยเหตุดังกล่าวจึงมีการพัฒนาทฤษฎีระบบควบคุมจากหลาย แง่มุมจากความพยายามในการใช้คอมพิวเตอร์ซึ่งเป็นดิจิทัล เพื่อการควบคุมระบบซึ่งโดยส่วนใหญ่จะ เป็นระบบอนาล็อก จึงส่งผลให้มีการพัฒนาทางทฤษฎีระบบควบคุมดิจิทัล (อังกฤษ: digital control) โดยในปี ค.ศ. 1952 จอห์น ราจซซินี (J.R. Ragazzini) , แฟรงคลิน (G Franklin) และ ซาเดห์ (L.A. Zadeh ผู้คิดค้นพีซีลอจิก) ที่มหาวิทยาลัยโคลัมเบีย ได้พัฒนาทฤษฎีระบบแบบซัดข้อมูล (sampled data systems) ขึ้น การใช้คอมพิวเตอร์ในการควบคุมกระบวนการในอุตสาหกรรมนั้น ครั้งแรกในปี ค.ศ. 1959 ที่ โรงกลั่นน้ำมัน พอร์ต อาเธอร์ (Port Arthur) ในรัฐเท็กซัส

นอกจากนั้นแล้วแนวความคิดของการควบคุมที่ซับซ้อนขึ้น โดยมีการรวม ข้อกำหนดความ ต้องการทางด้านประสิทธิภาพ (performance) ในการออกแบบระบบควบคุม ซึ่งเรียกว่า ระบบควบคุม แบบเหมาะสมที่สุด (optimal control) รากฐานของทฤษฎีระบบควบคุมแบบเหมาะสมที่สุดนี้มีมา ยาวนานตั้งแต่ปี ค.ศ. 1696 จาก หลักของความเหมาะสมที่สุด (principle of optimality) ใน ปัญหา บราคิสโตโครน (Brachistochrone curve) และ แคลคูลัสของการแปรผัน (Calculus of variations) ในปีค.ศ. 1957 ริชาร์ด เบลแมน ได้ประยุกต์ใช้วิธีการกำหนดการพลวัตของเขาในการ แก้ปัญหา ระบบควบคุมแบบเหมาะสมที่สุด แบบเวลาไม่ต่อเนื่อง ต่อมาในปีค.ศ. 1958 พอนเทรีย กิน (L.S. Pontryagin) ได้พัฒนา หลักการมากที่สุด (maximum principle หรือบางครั้งก็เรียก minimum principle) สำหรับแก้ปัญหาในรูปแบบของแคลคูลัสของการแปรผัน แบบเวลาต่อเนื่อง

การสังเกตถึงผลกระทบของสัญญาณรบกวนต่อประสิทธิภาพของระบบควบคุมนั้นมีมาตั้งแต่ ในช่วงระบบควบคุมยุคดั้งเดิม เช่น ในช่วงสงครามโลกครั้งที่สอง ในการพัฒนาระบบควบคุมสำหรับ เรดาร์ติดตามเครื่องบิน เพื่อควบคุมการยิง ที่ ห้องทดลองเรดิเอชัน (Radiation Lab) ที่ เอ็มไอที, ฮอลล์ (A.C. Hall) ได้ประสบปัญหาในการออกแบบ เขาได้สังเกตถึงผลกระทบจากการออกแบบที่ไม่ได้คำนึงถึง สัญญาณรบกวนต่อประสิทธิภาพของระบบ ถึงแม้ว่าจะมีการคำนึงถึงผลกระทบของสัญญาณรบกวน แต่ก็ไม่ได้มีการใช้แบบจำลองทางคณิตศาสตร์ของสัญญาณรบกวนในการวิเคราะห์แต่อย่างใด จนกระทั่ง นอร์เบิร์ต วินเนอร์ ได้จำลองสัญญาณรบกวน โดยใช้แบบจำลองกระบวนการสโตแคสติก

หรือ แบบจำลองทางสถิติ แบบเวลาต่อเนื่อง ในการพัฒนาระบบเล็งเป้าและควบคุมการยิงปืนต่อต้านอากาศยาน โดยใช้ข้อมูลจากเรดาร์ ซึ่งงานของเขาได้ถูกเก็บเป็นความลับ จนถึงปี ค.ศ. 1949 ในช่วงเดียวกันในปี ค.ศ. 1941 คอลโมโกรอฟ ก็ได้ทำการพัฒนาแบบจำลองสำหรับระบบเวลาไม่ต่อเนื่องขึ้น ระบบควบคุมที่ใช้แบบจำลองสโตแคสติกนี้ในการวิเคราะห์ จะเรียกว่า ระบบควบคุมสโตแคสติก (Stochastic control)

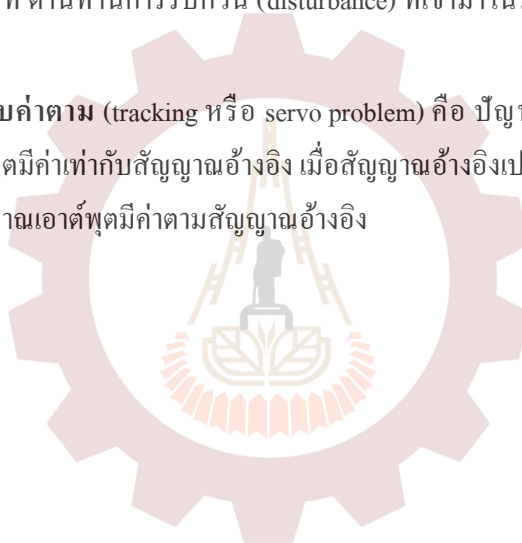
การวิเคราะห์และควบคุมระบบบนโดเมนเวลา โดยใช้แบบจำลองตัวแปรสถานะ หรือ แบบจำลองปริภูมิสถานะ (state space) นั้นเป็นหัวใจของทฤษฎีระบบควบคุมสมัยใหม่ รูคอล์ฟ อีมีว คาลมาน และ Bellman นั้นถือได้ว่าเป็นบุคคลที่มีส่วนสำคัญในการพัฒนาทฤษฎีระบบควบคุมโดยใช้แบบจำลองตัวแปรสถานะนี้ โดยที่ในปี ค.ศ. 1960 คาลมานได้นำทฤษฎีเสถียรภาพของเลียปูนอฟมาใช้ในการออกแบบระบบ ซึ่งเป็นผลให้ผลงานของเลียปูนอฟกลับมาได้รับความสนใจ นอกจากนี้แนวทางใหม่นี้ยังสามารถตอบคำถามเกี่ยวกับลักษณะเฉพาะของตัวระบบได้ ได้แก่ สภาพควบคุมได้ (controllability) สภาพสังเกตได้ (observability) ผลสัมฤทธิ์เล็กสุดเฉพาะกลุ่ม (minimal realization) และยังนำไปสู่การออกแบบตัวควบคุมแบบใหม่ เช่น การวางขั้ว (pole placement) ตัวควบคุมอิงตัวสังเกต (observer-based controller) และตัวควบคุมกำลังสองเชิงเส้นเหมาะสมที่สุด (optimal linear quadratic regulator) คาลมานได้พัฒนาวิธีการออกแบบระบบควบคุมแบบเหมาะสมที่สุดจากแบบจำลองปริภูมิสถานะ ในรูปของปัญหาหาค่าเหมาะที่สุดตามสมการกำลังสอง หรือ LQR (linear quadratic regulator) ในปีเดียวกันนี้ คาลมานได้นำเสนอผลงานของเขาในการประยุกต์ใช้แบบจำลองตัวแปรสถานะนี้เข้ากับแนวความคิดทางด้านสโตแคสติกของวินเนอร์ และคิดค้นสิ่งที่เรารู้จักกันในชื่อ ตัวกรองคาลมาน (Kalman filter) ขึ้นมา โดยการใช้งานจริงครั้งแรกของตัวกรองคาลมาน นั้นได้ถูกประยุกต์เป็นส่วนหนึ่งของระบบนำร่องในโครงการอพอลโล ตั้งแต่นั้นมาตัวกรองคาลมานก็ได้ถูกประยุกต์ใช้งานอย่างกว้างขวางในปัจจุบัน

ในปัจจุบันแนวทางการวิเคราะห์และควบคุมระบบบนโดเมนเวลา โดยใช้แบบจำลองตัวแปรสถานะสามารถประยุกต์ใช้ได้กับงานวิศวกรรมห้วงอากาศอวกาศ (aerospace engineering) การควบคุมกระบวนการ (process control) และเศรษฐมิติ (econometrics)

### ประเภทของระบบควบคุม

ปัญหาของทฤษฎีระบบควบคุมนั้น สามารถแยกออกได้เป็นประเภทใหญ่ 2 ประเภท คือ

1. **ปัญหาระบบคงค่า (regulator problem)** คือ ปัญหาที่มีจุดประสงค์ของการควบคุม ให้เอาต์พุตของระบบมีค่าคงที่ ต้านทานการรบกวน (disturbance) ที่เข้ามาในระบบ และมีผลทำให้ระบบเปลี่ยนแปลง
2. **ปัญหาระบบปรับค่าตาม (tracking หรือ servo problem)** คือ ปัญหาที่มีจุดประสงค์ของการควบคุม ให้เอาต์พุตมีค่าเท่ากับสัญญาณอ้างอิง เมื่อสัญญาณอ้างอิงเปลี่ยนไป ระบบควบคุมจะทำการปรับให้ สัญญาณเอาต์พุตมีค่าตามสัญญาณอ้างอิง

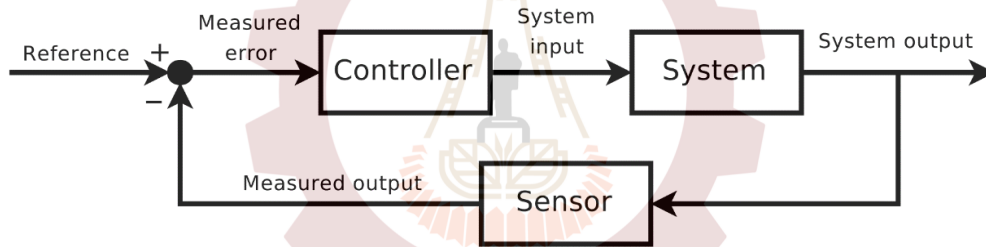


สาขาวิชาวิศวกรรมเมคคาทรอนิกส์

สำนักวิชาวิศวกรรมศาสตร์ มหาวิทยาลัยเทคโนโลยีสุรนารี

## ระบบควบคุมวงปิด

เนื่องจากระบบควบคุมแบบวงเปิดมีปัญหาด้านเสถียรภาพของระบบเพราะไม่มีการป้อนกลับของสัญญาณขาออก ซึ่งไม่เหมาะกับการใช้งานหลายอย่าง จึงมีความต้องการที่จะออกแบบระบบควบคุมที่สามารถตรวจจับความคลาดเคลื่อนระหว่างสัญญาณขาออกและสัญญาณอ้างอิงได้ จึงได้มีการคิดค้นระบบควบคุมแบบป้อนกลับ (Feedback control systems) หรือระบบควบคุมแบบวงปิด (Closed loop control systems) ขึ้นมาเพื่อหลีกเลี่ยงปัญหาที่เกิดขึ้นกับระบบควบคุมแบบวงเปิด โดยมีโครงสร้างดังในรูป



รูปที่ 2.2 ระบบควบคุมแบบวงปิด

หลักการควบคุมป้อนกลับ (Feedback control systems) เป็นหลักการพื้นฐานที่ใช้ในการควบคุมระบบพลวัตอย่างแพร่หลาย ในภาพเป็นการป้อนกลับแบบลบ (Negative feedback) เพราะสัญญาณจากเซนเซอร์ (Measured error) จะถูกนำไปหักล้างจากสัญญาณอ้างอิง (Reference input) เพื่อที่จะทำไปสร้างสัญญาณความคลาดเคลื่อน (Measured error) (ผลต่างระหว่างค่าที่ผู้ออกแบบต้องการและสัญญาณจากตัวตรวจจับ (Sensor)) ซึ่งจะนำไปป้อนสู่ตัวควบคุม (Controller) และตัวควบคุมจะสร้างสัญญาณควบคุม (System input หรือ Control signal) ป้อนสู่ระบบพลวัต (Plant, Dynamic systems) หลังจากนั้นจะนำสัญญาณขาออกของระบบพลวัต (ที่วัดได้จากตัวตรวจจับ) มาป้อนสู่ระบบป้อนกลับต่อไปเช่นนี้เรื่อย ๆ

## ตัวควบคุม PID

ตัวควบคุม PID (proportional-integral-derivative controller) ได้รับการนำเสนอเป็นครั้งแรกในปี ค.ศ.1922 โดย Minorsky [32, 33] สำหรับการควบคุมระบบนำร่องการเดินเรือ นับจากนั้นเป็นต้นมา ตัวควบคุม PID ได้รับการนำมาประยุกต์ใช้งานในภาคอุตสาหกรรมอย่างกว้างขวาง [32, 33] ซึ่งพบว่ากว่าร้อยละ 90 ถึง 95 ของปัญหาการควบคุมระบบในภาคอุตสาหกรรมสามารถแก้ไขได้ด้วยตัวควบคุม PID

ในทางคณิตศาสตร์ตัวควบคุม PID มีกลไกปฏิบัติการทางคณิตศาสตร์ที่เป็นการปรับสัดส่วน (proportional) การอินทิเกรต (integral) และการอนุพันธ์ (derivative) สัญญาณความสัณพันธ์ทางคณิตศาสตร์ของตัวควบคุม PID เมื่อกำหนดให้  $e(t)$  คือสัญญาณอินพุต และ  $u(t)$  คือสัญญาณเอาต์พุต (สัญญาณควบคุม) แสดงดังสมการที่ (2.1) เมื่อ  $K_P$  คือค่าคงตัวอัตราขยายเชิงปรับสัดส่วน (proportional gain constant)  $K_I$  คือค่าคงตัวอัตราขยายเชิงอินทิเกรต (integral gain constant) และ  $K_D$  คือค่าคงตัวอัตราขยายเชิงอนุพันธ์ (derivative gain constant) ดังนั้นฟังก์ชันถ่ายโอน  $G(s)$  ของตัวควบคุม PID จะแสดงได้ดังสมการที่ (2.2)

$$u(t) = K_P e(t) + K_I \int e(t) dt + K_D \frac{de(t)}{dt} \quad (2.1)$$

$$G_c(s)_{PID} = K_P + \frac{K_I}{s} + K_D s = \frac{K_D s^2 + K_P s + K_I}{s} \quad (2.2)$$

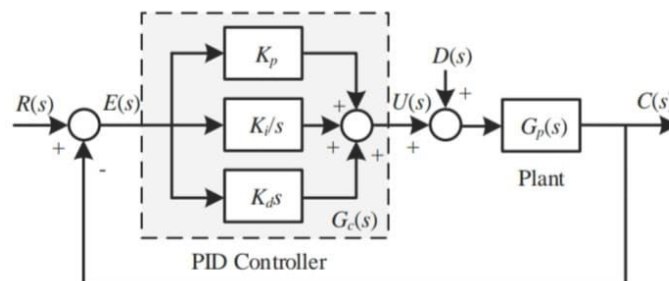
$$G_c(s)_{PID} = K_c \left( 1 + \frac{1}{\tau_I s} + \tau_D s \right) \quad (2.3)$$

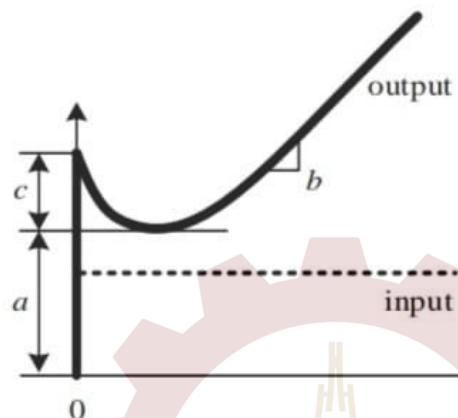
นอกจากนี้ฟังก์ชันถ่ายโอน  $G_c(s)$  ของตัวควบคุมพีไอคืออาจแสดงได้ดังสมการที่ (2.3) เมื่อ  $\tau_I$  คือค่าคงตัวทางเวลาเชิงอินทิเกรต (integral time constant) และ  $\tau_D$  คือค่าคงตัวทางเวลาเชิงอนุพันธ์

$$\left. \begin{aligned} K_P &= K_c \\ K_I &= K_c / \tau_I \\ K_D &= K_c \tau_D \end{aligned} \right\} \quad (2.4)$$

(derivative time constant) เมื่อทำการเปรียบเทียบสมการที่ (2.2) และ (2.3) จะพบว่า

พิจารณาระบบควบคุมในภาพที่ 2.4 ตัวควบคุม PID  $G_c(s)$  จะรับสัญญาณคลาดเคลื่อน (error signal:  $E(s)$ ) มาคำนวณเพื่อผลิตสัญญาณควบคุม (control signal:  $U(s)$ ) และส่งไปควบคุมพลานต์ (plant)  $G_p(s)$  ให้ผลิตผลตอบสนองหรือเอาต์พุต (output signal:  $C(s)$ ) สอดคล้องกับสัญญาณอินพุตอ้างอิง (reference input signal:  $R(s)$ ) พร้อมทั้งกำจัดสัญญาณรบกวน (disturbance signal:  $D(s)$ ) ไปพร้อมกันตัวควบคุม PID จะมีโพล (pole) ที่จุดกำเนิดจำนวนหนึ่งตัว และซีโร (zero) จำนวนสองตัว เมื่อตัวควบคุม PID วางตัวอยู่ในวิถีป้อนไปหน้า (forward path) ของวงรอบการควบคุม (control loop) ในลักษณะต่ออนุกรมหรือต่ออันดับกับพลานต์ (plant) ซึ่งมีฟังก์ชันเป็น  $G(s)$  ดังแสดงในภาพที่ 2.4 ระบบควบคุมที่ได้รับการควบคุมด้วยตัวควบคุม PID จะมีอันดับ (order) เพิ่มขึ้นหนึ่ง และเมื่อตัวควบคุม PID รับสัญญาณอินพุตแบบขั้นบันได (step input) สัญญาณเอาต์พุตของตัวควบคุม PID จะแสดงดังรูปที่ 2.5 ซึ่งสัดส่วน  $a$  ของสัญญาณจะแปรผันตรงกับค่า  $K_P$  ความชัน  $b$  ของสัญญาณจะแปร



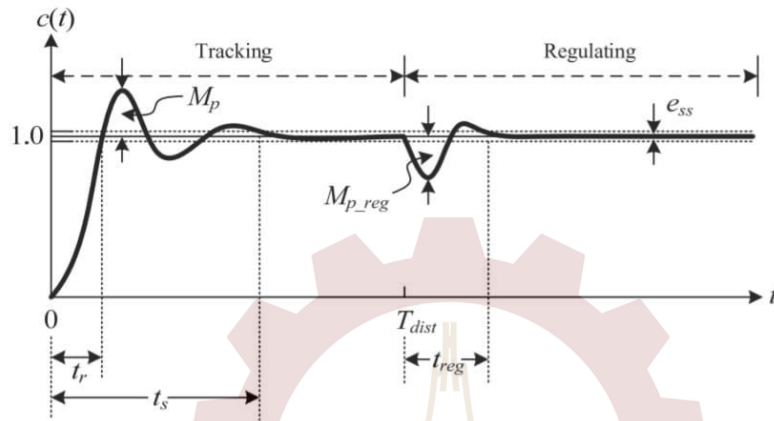


ผันตรงกับค่า KI และสัดส่วน  $c$  ของสัญญาณจะแปรผันตรงกับค่า KD

รูปที่ 2.3 วงรอบการควบคุม PID

รูปที่ 2.4 เอาต์พุตของตัวควบคุม PID เมื่อรับอินพุตแบบขั้นบันได

ผลตอบสนองของระบบในโดเมนเวลาสามารถแบ่งพิจารณาออกเป็น ผลตอบสนองเชิงแปรตามอินพุต (command following/trackig) และผลตอบสนองเชิงคุมค่าโหลด (load regulating) ดังแสดงในภาพที่ 2.6 ผลกระทบจากการปรับแต่งค่าพารามิเตอร์ของตัวควบคุม PID ที่มีต่อผลตอบสนองของระบบในโดเมนเวลา ได้รับการสรุปไว้ในตารางที่ 2.1 เมื่อ  $t_r$  คือเวลาขึ้น (risetime),  $M_p$  คือการพุ่งเกินสูงสุด (maximum overshoot),  $t_s$  คือเวลาเข้าที่ (settling time),  $M_{p\_reg}$  คือการพุ่งเกินสูงสุดจากการคุมค่าโหลด (maximum overshoot of load regulation),  $t_{reg}$  คือเวลาเข้าที่จากการคุมค่าโหลด (settling time of load regulation) และ  $ess$  คือความคลาดเคลื่อนในสภาวะคงตัว (steady-state error)



รูปที่ 2.5 ผลตอบสนองของระบบในโดเมน

ตารางที่ 2.1 ผลกระทบจากการปรับแต่งค่าพารามิเตอร์ของตัวควบคุม PID

ค่าพารามิเตอร์ (ปรับเพิ่ม)	เวลาขึ้น ( $t_r$ )	การพุ่งเกิน ( $M_p$ )	เวลาเข้าที่ ( $t_s$ )	ค่าคลาดเคลื่อนในสภาวะคงตัว ( $e_{ss}$ )
$K_P$	ลดลง	เพิ่มขึ้น	เปลี่ยนแปลงเล็กน้อย	ลดลง
$K_I$	ลดลง	เพิ่มขึ้น	เพิ่มขึ้น	ถูกกำจัด
$K_D$	เปลี่ยนแปลงเล็กน้อย	ลดลง	ลดลง	ไม่มีผลกระทบ

## จีพีเอส (GPS Technology)

เป็นเทคโนโลยีการนำร่องและหาพิกัดบนพื้นโลกจากดาวเทียม การบริหารจัดการข้อมูลคุณลักษณะ (Meta Data) หรือที่เรียกว่าระบบฐานข้อมูลเชิงสัมพันธ์ (RDBMS) มาประยุกต์ใช้ในการจัดทำฐานข้อมูลระบบภูมิสารสนเทศ เพื่อสนับสนุนภารกิจตามแผนป้องกันประเทศ การรักษาความมั่นคงภายใน การรักษาความสงบเรียบร้อยภายในประเทศและการปฏิบัติอื่นๆ

อาจจะจำได้ กับภาพยนตร์แอคชั่นต่างประเทศเมื่อหลายปีก่อน เมื่อตัวเอกของเรื่องที่เป็นตำรวจไล่ตามจับตัวร้ายโดยใช้เครื่องมือแห่งอนาคตที่สามารถบอกตำแหน่งของตัวร้ายในรูปแบบของแผนที่ บนเครื่องมือขนาดย่อมคล้ายๆ PDA ทำให้สามารถตามจับตัวผู้ร้ายได้ หรือจะเป็นซีรีส์อีกเรื่อง ที่ตัวเอกเป็นตำรวจเช่นกัน สามารถระบุตำแหน่งของรถยนต์ที่กำลังขับอยู่ ผ่านหน้าจอคอนโทรลในรถ และดูแผนที่ของจุดที่กำลังจะไปได้ ในตอนนั้นผู้ชมคงคิดไม่ถึงว่าอีกไม่กี่ปีให้หลัง ภาพการใช้เทคโนโลยีดังกล่าวจะเป็นจริง และไม่ใช่เพียงแค่การใช้งานทางด้านทหารหรือตำรวจเท่านั้น แต่ยังเข้ามามีบทบาทในชีวิตประจำวันของเราได้อีกด้วย

เทคโนโลยีดังกล่าวมีชื่อว่า GPS หรือระบบ Global Positioning System ซึ่งแรกเริ่มเดิมทีใช้ช่วยในด้านการทหารในประเทศสหรัฐอเมริกา เทคโนโลยีนี้จะช่วยให้ท่านสามารถทราบตำแหน่งของจุดที่ต้องการได้ ด้วยระยะเวลาแม่นยำสูง ความคลาดเคลื่อนเพียงแค่หลักเมตรเท่านั้น ระบบ GPS นี้เป็นการทำงานร่วมกันขององค์ประกอบสำคัญ 3 ส่วน ดังนี้

1. ส่วนอวกาศ (Space Segment) ระบบ GPS จะเป็นการทำงานของดาวเทียม GPS จำนวนทั้งหมด 24 ดวง ที่โคจรรอบโลก ที่ความสูงจากพื้นโลกประมาณ 20,000 กิโลเมตร เป็นตัวส่งสัญญาณบอกพิกัดของจุดที่ต้องการทราบ สัญญาณดังกล่าวจะต้องถูกส่งมาจากดาวเทียมอย่างน้อย 3 ดวงขึ้นไป ในการส่งพิกัดที่ถูกต้องมายังอุปกรณ์บนพื้นโลก
2. ส่วนควบคุมดาวเทียม (Control Segment) ซึ่งอยู่บนพื้นโลก ประกอบไปด้วย 1 สถานีหลัก และ 5 สถานีย่อยที่กระจายกันอยู่ตามตำแหน่งต่างๆ ศูนย์ควบคุมนี้จะทำหน้าที่ในการควบคุมและติดต่อสื่อสารกับดาวเทียม รวมทั้งคำนวณผลจากดาวเทียมแต่ละดวง และส่งข้อมูลที่ได้อัตโนมัติกลับไปยังดาวเทียม ทำให้ข้อมูลที่ได้รับอัปเดตตลอดเวลา

3. ส่วนผู้ใช้ (User Segment) ในส่วนของผู้ใช้นี้ จะเป็นการดูตำแหน่ง หรือพิกัดที่ได้รับจากดาวเทียม ผ่านการประมวลผลจากเครื่องมือรับสัญญาณ เพื่อให้ได้จุดของตำแหน่งที่ต้องการทราบได้

อยากให้เทคโนโลยีนี้มีให้บริการอย่างแพร่หลายเร็วๆ เพราะจะได้ติดตามตำแหน่งของสิ่งต่าง (โดยอย่างยิ่งสิ่งที่คุณรัก) ได้ง่ายๆ ซักที ในทางตรงข้าม หลายๆ ท่านอาจจะไม่อยากจะให้ภาพเหล่านี้เกิดขึ้น เพราะอาจสร้างความลำบากให้กับตนเอง (จะทำอะไร ไปไหนไม่สะดวกเหมือนก่อน) แต่อย่างไรก็ตาม ก็ขอให้ผู้ใช้ให้บริการทั้งหลายอย่าลืมเพิ่มเรื่องสิทธิส่วนบุคคลในบริการต่างๆ ด้วย

GPS คือ ระบบระบุตำแหน่งบนพื้น โลก ย่อมาจากคำว่า Global Positioning System ซึ่งระบบ GPS ประกอบไปด้วย 3 ส่วนหลัก คือ

1. ส่วนอวกาศ ประกอบด้วยเครือข่ายดาวเทียม 3 ค่ายคือ

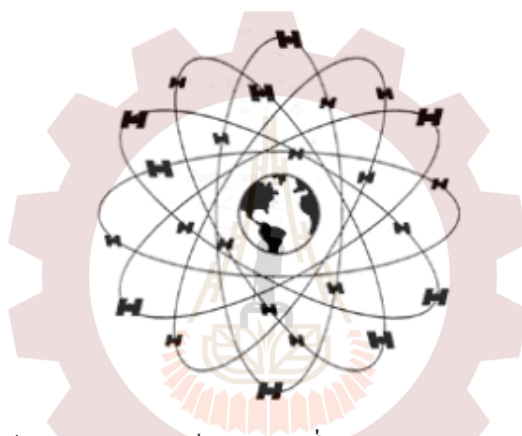
-อเมริกา รัสเซีย ยุโรป ของอเมริกา ชื่อ NAVSTAR (Navigation Satellite Timing and Ranging GPS) มีดาวเทียม 28 ดวง ใช้งานจริง 24 ดวง อีก 4 ดวงเป็นตัวสำรอง บริหารงานโดย Department of Defense มีรัศมีวงโคจรจากพื้น โลก 20,162.81 กม. หรือ 12,600 ไมล์ ดาวเทียมแต่ละดวงใช้เวลาในการโคจรรอบโลก 12 ชั่วโมง

สํานักวิชาวิศวกรรมอากาศยาน  
 ยุโรป ชื่อ Galileo มี 27 ดวง บริหารงาน โดย ESA หรือ European Satellite Agency จะพร้อมใช้งานในปี 2008

-รัสเซีย ชื่อ GLONASS หรือ Global Navigation Satellite บริหาร โดย Russia VKS (Russia Military Space Force)

ในขณะที่ภาคประชาชนทั่วโลกสามารถใช้ข้อมูลจากดาวเทียมของทางอเมริกา (NAVSTAR) ได้ฟรี เนื่องจากนโยบายสิทธิการเข้าถึงข้อมูลและข่าวสารสำหรับประชาชนของรัฐบาลสหรัฐ จึงเปิดให้ประชาชนทั่วไปสามารถใช้ข้อมูลดังกล่าวในระดับความแม่นยำที่ไม่เป็นภัยต่อความมั่นคงของรัฐบาล กล่าวคือมีความแม่นยำในระดับบวก / ลบ 10 เมตร

2. ส่วนควบคุม ประกอบด้วยสถานีภาคพื้นดิน สถานีใหญ่อยู่ที่ Falcon Air Force Base ประเทศ อเมริกา และศูนย์ควบคุมย่อยอีก 5 จุด กระจายไปยังภูมิภาคต่าง ๆ ทั่วโลก
3. ส่วนผู้ใช้งาน ผู้ใช้งานต้องมีเครื่องรับสัญญาณที่สามารถรับคลื่นและแปรรหัสจากดาวเทียมเพื่อนำมาประมวลผลให้เหมาะสมกับการใช้งานในรูปแบบต่าง ๆ



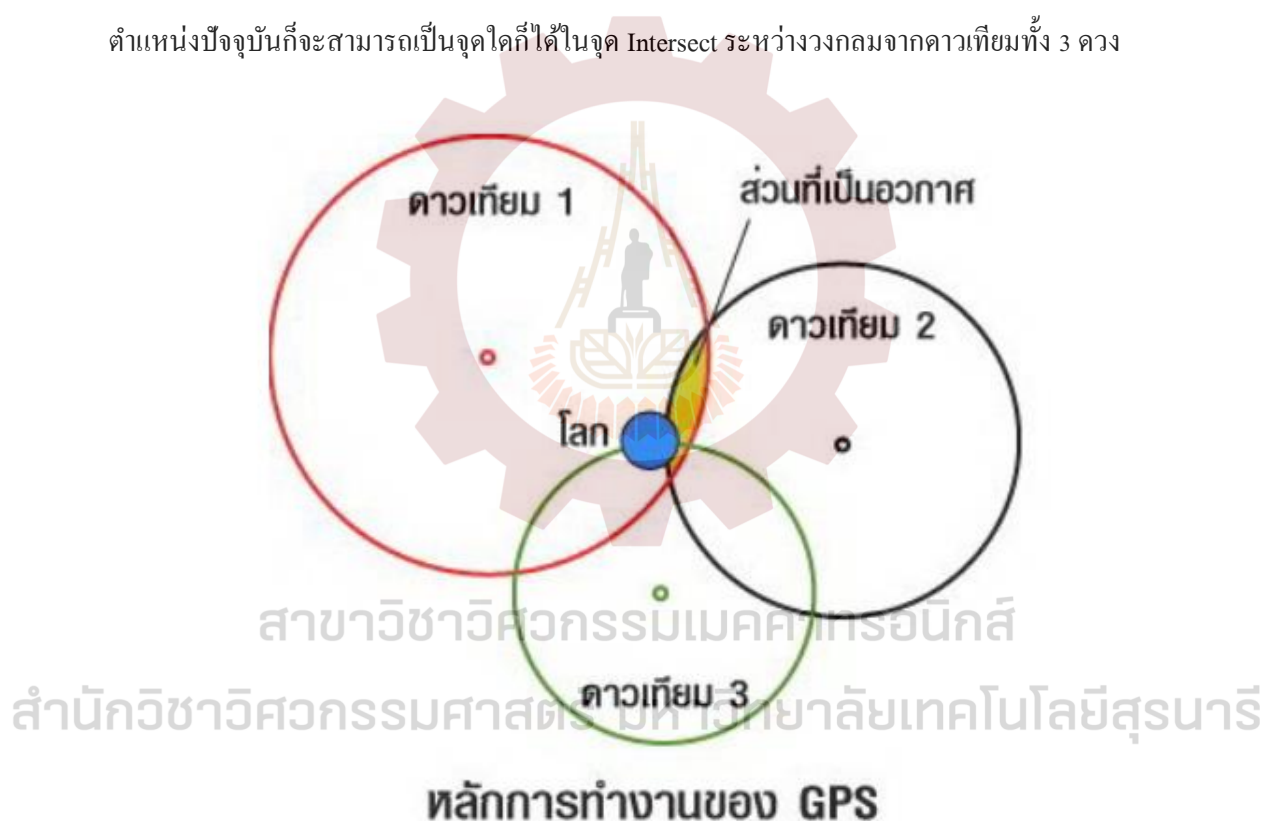
ทุกวันนี้บางท่านมักจะเข้าใจผิดว่า GPS เป็น GPRS ซึ่ง GPRS ย่อมาจากคำว่า General Packet Radio Service เป็นระบบสื่อสารแบบไร้สายสำหรับโทรศัพท์มือถือ หรือ PDA หรือ note book เพื่อเชื่อมต่อกับ internet หลักการของเครื่อง GPS คือการคำนวณระยะทางระหว่างดาวเทียมกับเครื่อง GPS ซึ่งจะต้องใช้ระยะทางจากดาวเทียมอย่างต่ำ 3 ดวง เพื่อให้ได้ตำแหน่งที่แน่นอน ซึ่งเมื่อเครื่อง GPS สามารถรับสัญญาณจากดาวเทียมได้ 3 ดวงขึ้นไปแล้ว จะมีคำนวณระยะทางระหว่างดาวเทียมถึงเครื่อง GPS โดยสูตรคำนวณทางฟิสิกส์คือความเร็ว X เวลา = ระยะทาง

โดยดาวเทียมทั้ง 3 ดวงจะส่งสัญญาณที่เหมือนกันมายังเครื่อง GPS โดยความเร็วแสง (186,000 ไมล์ต่อวินาที) แต่ระยะเวลาในการรับสัญญาณได้จากดาวเทียมแต่ละดวงนั้นจะไม่เท่ากัน เนื่องจากระยะทางไม่เท่ากัน เช่นดาวเทียม 1 : ระยะเวลาในการส่งสัญญาณจากดาวเทียมดวงแรกถึงเครื่อง GPS คือ 0.10 วินาที ระยะทางระหว่างดาวเทียมกับ GPS คือ 18,600 ไมล์ (186,000 ไมล์ต่อวินาที X 0.10 วินาที = 18,600 ไมล์) ฉะนั้นตำแหน่งปัจจุบันก็จะสามารถเป็นจุดใดก็ได้ในวงกลมที่มีรัศมี 18,600 ไมล์ ซึ่งจะเห็นว่าดาวเทียมเพียงดวงเดียวยังไม่สามารถบอกตำแหน่งที่แน่นอนได้

ดาวเทียม 2 : ระยะเวลาในการส่งสัญญาณจากดาวเทียมดวงแรกถึงเครื่อง GPS คือ 0.08 วินาที ระยะทางระหว่างดาวเทียมกับ GPS คือ 13,200 ไมล์ (186,000 ไมล์ต่อวินาที X 0.08 วินาที = 13,200 ไมล์) ฉะนั้น

ตำแหน่งปัจจุบันก็จะสามารถเป็นจุดใดก็ได้ในจุด Intersect ระหว่างวงกลมจากดาวเทียมดวงแรกกับดาวเทียมดวงที่ 2

ดาวเทียม 3 : ระยะเวลาในการส่งสัญญาณจากดาวเทียมดวงแรกถึงเครื่อง GPS คือ 0.06 วินาที ระยะทางระหว่างดาวเทียมกับ GPS คือ 11,160 ไมล์ ( $186,000$  ไมล์ต่อวินาที  $\times$   $0.06$  วินาที =  $11,160$  ไมล์) ฉะนั้นตำแหน่งปัจจุบันก็จะสามารถเป็นจุดใดก็ได้ในจุด Intersect ระหว่างวงกลมจากดาวเทียมทั้ง 3 ดวง



รูปที่ 2.6 หลักการทำงานของ GPS

จะเห็นได้ว่าจะเหลือตำแหน่งอยู่ 2 จุดที่บริเวณวงกลมทั้ง 3 ตัดกันคือตำแหน่งที่อยู่ในอวกาศ ซึ่งแน่นอนว่าเราไม่สามารถไปอยู่ในอวกาศได้ตำแหน่งนี้จะถูกตัดทิ้งอัตโนมัติโดยเครื่อง GPS อีกตำแหน่งคือตำแหน่งบนพื้นโลกซึ่งเป็นตำแหน่งที่เราขึ้นถือเครื่อง GPS อยู่นั่นเอง ซึ่งความถูกต้องแม่นยำของตำแหน่งก็ขึ้นกับจำนวนดาวเทียมที่สามารถรับสัญญาณได้ในขณะนั้นหากมีมากกว่า 3 ดวงก็จะละเอียดมากขึ้น และก็ขึ้นกับเครื่อง GPS ด้วย หากเป็นเครื่องที่มีราคาแพง (ซึ่งมักใช้เฉพาะงาน) ก็จะ

มีความถูกต้องแม่นยำมากขึ้นข้อมูลตำแหน่งที่ได้มานั้น ยังสามารถใช้ร่วมกับ โปรแกรมในเครื่อง GPS เพื่อบอกจุดบนแผนที่ และแสดงตำแหน่งของเราว่าอยู่จุดใดของแผนที่ได้อีกด้วย ทั้งนี้ก็ขึ้นกับข้อมูลแผนที่ที่ติดมากับเครื่องด้วยว่ามีความแม่นยำเพียงใด โดยแผนที่พื้นฐานจะไม่ได้ติดตั้งมากับเครื่อง GPS ทุกรุ่น ซึ่งอาจจะต้องซื้อแยกจากตัวเครื่อง GPS ทำงาน โดยการรับสัญญาณจากดาวเทียมอย่างน้อย 4 ดวง โดยอาศัยข้อมูลที่ส่งตรงมาจากดาวเทียมแต่ละดวง โดยสัญญาณดาวเทียมนี้ประกอบไปด้วยข้อมูลที่ระบุตำแหน่งและเวลาขณะส่งสัญญาณ ตัวเครื่องรับสัญญาณ GPS จะต้องประมวลผลความแตกต่างของเวลาในการรับสัญญาณเทียบกับเวลาจริง ณ ปัจจุบันเพื่อแปรเป็นระยะทางระหว่างเครื่องรับสัญญาณกับดาวเทียมแต่ละดวง ซึ่งได้ระบุมีตำแหน่งของมันมากับสัญญาณดังกล่าวข้างต้น

#### หน้าที่สำคัญของดาวเทียม GPS มีดังนี้

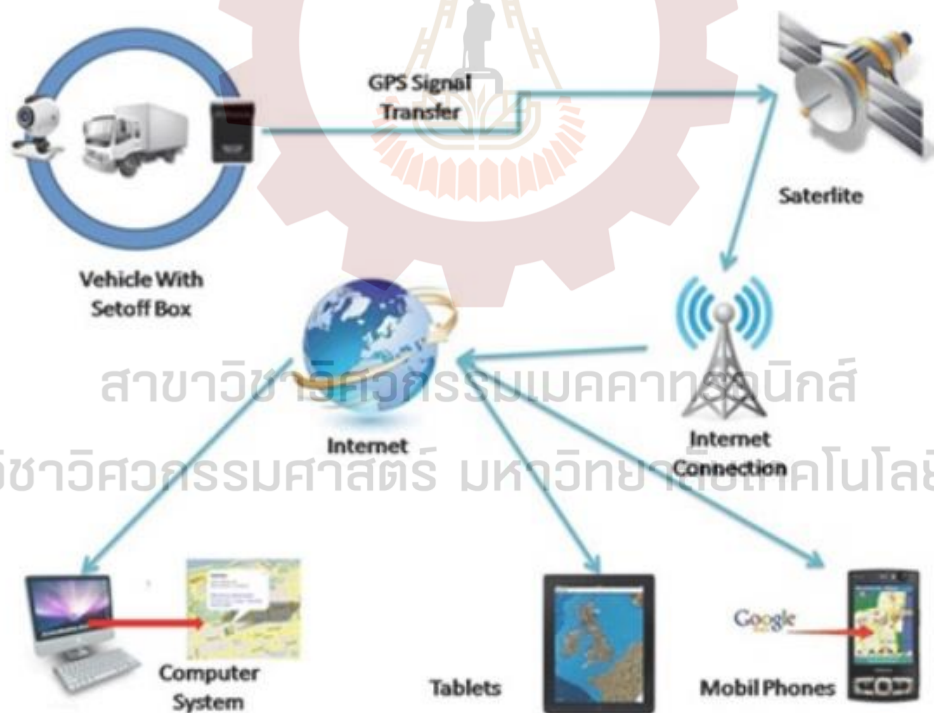
1. รับข้อมูล วงโคจรที่ถูกต้องของดาวเทียม (Ephemeris Data) ที่ส่งมาจาก สถานีควบคุมดาวเทียมหลัก (Master Control Station) เพื่อส่งกระจายสัญญาณข้อมูลนี้ ลงไปยังพื้นโลกสำหรับ GPS Receiver ใช้ในการคำนวณ ระยะห่าง (Range) ระหว่างดาวเทียมดวงนั้น กับ ตัวเครื่อง GPS Receiver และตำแหน่งของดาวเทียมบนท้องฟ้า เพื่อใช้คำนวณหา ตำแหน่งพิกัด ของตัวเครื่อง GPS Receiver เอง

2. ส่งรหัส (Code) และข้อมูล Carrier Phase ไปกับคลื่นวิทยุ ลงไปยังพื้นโลก สำหรับ GPS Receiver ใช้ในการคำนวณ ระยะห่าง (Range) ระหว่างดาวเทียมดวงนั้น กับ ตัวเครื่อง GPS Receiver

3. ส่งข้อมูลตำแหน่งโดยประมาณของดาวเทียมทั้งหมด (Almanac Information) และข้อมูลสุขภาพ ของดาวเทียม ลงไปยังพื้นโลก สำหรับ GPS Receiver ใช้ในการกำหนดดาวเทียมที่จะสามารถรับสัญญาณได้ ความแม่นยำของการระบุตำแหน่งนั้นขึ้นอยู่กับตำแหน่งของดาวเทียมแต่ละดวง ค่าความถูกต้องของสัญญาณจากดาวเทียม จำนวนดาวเทียมที่รับสัญญาณได้ ความแปรปรวนของชั้นบรรยากาศ ลิงแควดล่อมในบริเวณรับสัญญาณ และประสิทธิภาพของเครื่องรับสัญญาณ

### การทำงานของระบบนำทางด้วย GPS

ก่อนอื่นผู้ใช้งานต้องมีเครื่องรับสัญญาณ เมื่อผู้ใช้งานนำเครื่องไปใช้งานมีการเปิดรับสัญญาณ GPS แล้ว ควรมีการวางแผนการเดินทางโดยการกำหนดจุดหมายปลายทางที่ตัวเครื่องเพื่อให้เครื่องได้คำนวณเส้นทาง Tracking System ระบบติดตามยานพาหนะ ระบบติดตามยานพาหนะเป็นศูนย์รวมข้อมูลที่แสดงตำแหน่งรถ พฤติกรรมการขับขี่รถ ระบบหาพิกัด (GPS) เพื่อเพิ่มประสิทธิภาพในการทำงานให้เป็นไปด้วยความรวดเร็ว ถูกต้อง แม่นยำ และเก็บข้อมูลการทำงานต่างๆ ได้อย่างมีประสิทธิภาพ

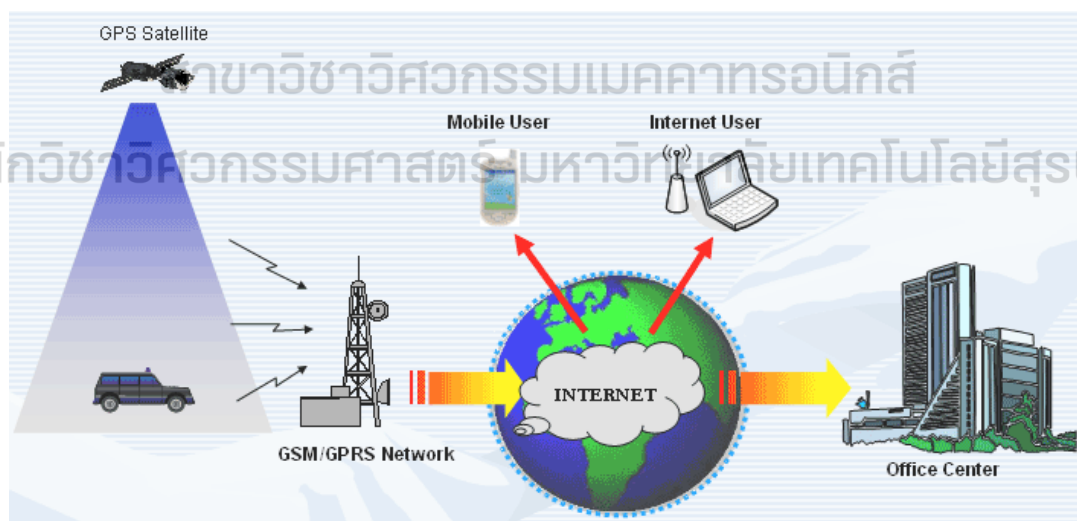


รูปที่ 2.7 การทำงานของระบบนำทางด้วย GPS

### ประโยชน์หลักของ GPS ก็คือ

- 1.บอกตำแหน่งว่าตอนนี้เราอยู่ที่ไหน
- 2.บันทึกเส้นทางที่เราไปไหนมาบ้าง เช่น ใช้ในการเดินป่า
- 3.นำทางไปจุดหมายที่กำหนด เช่น เราจะไปในสถานที่ที่ไม่เคยไปมาก่อน เราก็สามารถสั่งให้อุปกรณ์ GPS นำทางไปยังสถานที่นั้นได้ หรือจะใช้ค้นหาสถานที่สำคัญต่างๆก็ได้เช่นกัน

สามารถนำทางไปในสถานที่ต่าง ๆ ค้นหาสถานที่ต่าง ๆ ที่สำคัญ ๆ กำหนดจุดสนใจต่าง ๆ ได้ ใช้ในการวัดพื้นที่ การสำรวจ การเดินป่า การเดินเรือ ซึ่งสามารถนำทางกลับสู่ตำแหน่งตั้งต้นได้ และการบันทึกข้อมูลสำหรับการเล่นกีฬากลางแจ้ง ในเรื่องการขนส่งมีการนำ GPS ไปใช้เป็นระบบติดตามรถยนต์ เพื่อควบคุมดูแลตลอดจนบันทึกเส้นทาง ลักษณะการขับรถ และการควบคุมเครื่องมืออุปกรณ์ในรถ เช่น อุณหภูมิ ตู้แช่สินค้า ทำให้สามารถบริหารจัดการการขนส่งได้อย่างมีประสิทธิภาพ ประหยัดค่าใช้จ่าย และในด้านความปลอดภัยก็สามารถทราบถึงตำแหน่งของรถว่าอยู่ที่ไหน เกิดอะไรขึ้นสะดวกต่อการตรวจสอบติดตาม



รูปที่ 2.8 ประโยชน์ของ GPS

## รูปแบบการส่งข้อมูลของดาวเทียม GPS



รูปที่ 2.9 การส่งข้อมูลของดาวเทียม

แม้ว่าปัจจุบันจะมีการใช้จีพีเอสกันอย่างแพร่หลาย แต่ก็อาจจะมีใครหลายคนที่ยากจะเข้าใจรูปแบบการส่งสัญญาณของมันคร่าวๆว่าส่งสัญญาณในรูปแบบใด ซึ่งจริงๆแล้วการใช้สัญญาณจีพีเอสที่ได้มานั้น มีความสามารถในการใช้งานลักษณะงานแบบใดได้อีก ซึ่งดาวเทียมจีพีเอสนั้น แต่ละดวงจะส่งสัญญาณ 2 ชนิด คือ

### 1. สัญญาณเพื่อการบอกตำแหน่งแบบมาตรฐาน (Standard Positioning Service, SPS)

การบอกตำแหน่งแบบมาตรฐานนี้จะเป็นการเปิดให้บริการฟรี ไม่มีการเข้ารหัสใดๆ แต่ความแม่นยำของแบบมาตรฐานนี้จะมีความแม่นยำไม่มากนัก SPS นี้เป็นการส่งสัญญาณแบบ Spread-Spectrum ที่กระจายความถี่ที่ 1575.12 เมกกะเฮิร์ต ซึ่งช่วงความยาวคลื่นนี้จะไม่ค่อยได้รับผลกระทบจากสัญญาณรบกวนต่างๆ จากสภาพแวดล้อม หรือจากอุปกรณ์ไฟฟ้าบน โลกสัญญาณ SPS ประกอบด้วยข้อมูล 2 ชนิด ได้แก่ ข้อมูล Almanac และข้อมูล Ephemeris โดยข้อมูล Almanac เป็นข้อมูลที่บอกถึงสภาพของดาวเทียม ตำแหน่ง วงโคจรของดาวเทียมในระบบทุกดวงคร่าวๆ อุปกรณ์รับ

สัญญาณจีพีเอส จะรับข้อมูล Almanac จากดาวเทียมดวงใดๆที่สามารถรับสัญญาณได้ แล้วใช้ข้อมูลดังกล่าวเพื่อเลือกรับสัญญาณดาวเทียมที่สามารถใช้ในการคำนวณพิกัดตำแหน่งได้ ส่วนข้อมูล Ephemeris จะเป็นข้อมูลที่แม่นยำโดยละเอียดของวงโคจรของดาวเทียมแต่ละดวงที่ทำการรับสัญญาณ ทำให้ทราบตำแหน่งของดาวเทียมดวงนั้นๆ

## 2. สัญญาณเพื่อการบอกตำแหน่งแบบละเอียด (Precise Positioning Service, PPS)

การบอกตำแหน่งแบบละเอียดนี้将有ความแม่นยำมากกว่าการบอกตำแหน่งแบบมาตรฐาน การบอกตำแหน่งแบบละเอียดนี้ถูกพัฒนาขึ้นมาเพื่อใช้งานสำหรับด้านการทหาร โดยเฉพาะ หรืองานต่างๆ ที่ได้รับอนุญาตเป็นพิเศษจากกระทรวงกลาโหมของสหรัฐอเมริกาเท่านั้น ข้อมูลที่ส่งในชุดสัญญาณนี้จะถูกเข้ารหัสไว้ เพื่อป้องกันการเข้าถึงข้อมูลของผู้ที่ไม่ได้รับอนุญาตข้อมูลที่ได้นี้สามารถใช้ร่วมกับโปรแกรมที่ติดตั้งอยู่ในอุปกรณ์รับสัญญาณจีพีเอส เพื่อแสดงจุดบนแผนที่และตำแหน่งของอุปกรณ์รับสัญญาณว่าอยู่ตำแหน่งใด ทั้งนี้การแสดงผลจะขึ้นกับข้อมูลแผนที่ที่ติดตั้งในอุปกรณ์รับสัญญาณด้วยว่ามีความแม่นยำมากน้อยเพียงใด ซึ่งแผนที่พื้นฐานบางครั้งอาจจะไม่ได้ติดตั้งมากับอุปกรณ์รับสัญญาณจีพีเอสทุกรุ่น จำเป็นจะต้องซื้อแยกจากตัวเครื่องอีกที

สาขาวิชาวิศวกรรมเมคคาทรอนิกส์

สำนักวิชาวิศวกรรมศาสตร์ มหาวิทยาลัยเทคโนโลยีสุรนารี

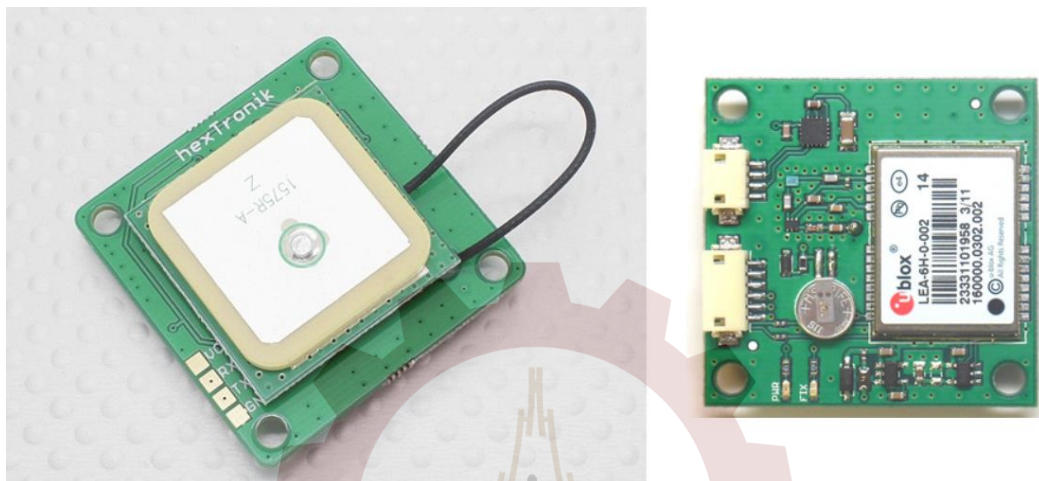
## Ardupilot

APM เป็นอโตไพลอต IMU ที่มีคุณภาพระดับมืออาชีพขึ้นอยู่กับ Arduino Mega, พัฒนาโดย 3DRobotics (3DR) และได้รับใบอนุญาตโดย GNU General Public License version 3 (GPLv3), APM เป็นที่รู้จักกันมากที่สุด "flight controller" มันสามารถใช้ได้กับ fly aircrafts (fixedwing, multicopters หรือเฮลิคอปเตอร์) และ drive rovers หรือเรือ ขึ้นอยู่กับว่ามีการเลือก firmware เนื่องจาก UGV และคำว่า "flight controller" ไม่พอดี จากนั้นใน APM จึงอ้างอิงกับ Autopilot controller board (หรือ simply autopilot) Autopilot board มีการนำทางตามเวย์พอยท์, การนำทางด้วยตนเอง, นำทาง GPS, การควบคุมกล้องและการติดต่อสื่อสาร 2 ทาง. เมื่อใช้ใน aircrafts (fixed-wind or multi-rotor) ก็สามารถที่จะรักษาเสถียรภาพของยานพาหนะโดยอัตโนมัติ MAVLink จะใช้ในการสื่อสารในทั้ง 2 ทิศทาง: ภายในและภายนอก

จนถึงวันนี้มี APM 4 version APM 1.0 มีการตั้งค่าโดย 2 บอร์ด : บอร์ด APM ซึ่งจริงๆแล้วเป็น Arduino Mega สำหรับขาเข้า/เอาต์พุต (I/O) และการประมวลผล อีกคนหนึ่งเป็น IMU shield ที่มีเซ็นเซอร์ที่จำเป็นทั้งหมดสำหรับการนำทาง ในภายหลังก็ตัดสินใจที่จะผสาน 2 บอร์ดของ version 1.0 ดังนั้น APM version 2.0 เป็นชุดของบอร์ด APM เซ็นเซอร์นำทาง หน่วยประมวลผลและ pini/o ใดๆก็ตามมันยังคงต้อง shield ที่ประกอบด้วย magnetometer, GPS และ slot ของ micro SD card. จากนั้น version 2.5

และ 2.6 version APM เหล่านี้ใช้ภายนอก GPS โดยไม่จำเป็นต้องใส่ ความแตกต่างเพียงอย่างเดียวระหว่างนั้นคือว่า APM 2.6 ใช้แมกนีโทมิเตอร์ภายนอก, การกำจัดรบกวนแม่เหล็กไฟฟ้าที่มีอยู่บน APM 2.5 ที่ใช้แมกนีโทมิเตอร์ภายใน APM 2.6 ได้รับการออกแบบมาเพื่อใช้กับ โมดูล GPS เฉพาะที่มีเพิ่มที่สนับสนุนกระดาน: 3DR GPS uBlox LEA-6H รูป 2.7 ในตาราง 2.1 แสดงรายละเอียดหลักของตระกูล

APM



รูปที่ 2.10 - uBlox LEA-6H GPS module with on-board compass

Board	APM 1.0	APM 2.x
Processor chip	AT Mega 1280 8-bit AVR AT Mega 328	AT Mega2560 8-bit AVR AT Mega 32U-2
On-Board sensor	3-axis gyroscope, 3 axis accelerometer, barometer, magnetometer(optional)	6-axis MPU-6000(gyroscope+ accelerometer), barometer, magnetometer, GPS
Datalogging memory	2MB	4MB
Size	40x72x20mm	40x65x10mm

ตารางที่ 2.2 APM family main specifications

APM 2.6 มีการออกแบบทั้งหมดและรองรับช่อง RC 8 และ 5 UARTs (ตัวรับสัญญาณแบบอะซิงโครนัสตัวรับส่ง): พอร์ต telemetry, พอร์ต GPS ใหม่, พอร์ต GPS เก่า, พอร์ตวงจรรวม (I2C) และพอร์ตจ่ายไฟ รูปที่ 2.8



รูปที่ 2.11 APM 2.6 with enclosure

### Processing

Atmel ATmega 2560 เป็นแบบ 8 บิต AVR (modified Harvard architecture) ก้บ 8KB SRAM, หน่วยความจำแฟลช, 256KB และ 4KB EEPROM มันทำงานสูงสุดที่ 16 MHz, ขับเคลื่อนโดย 2.7 V ถึง 5.5 V และมี 86 general purpose I/O , เครื่องส่งสัญญาณแบบอะซิงโครนัส (USART), PWM PWM and 16-channel 10-bit A/D converter ,ATmega 32U2 is used as a PPM (Pulse-Position Modulation) encoder ,การแปลงสัญญาณ PCM (Pulse-Code Modulation) signal to PPM สำหรับ ATmega 2560 ชิพนี้ยังรับผิดชอบในการควบคุม การเชื่อมต่อ USB กับ ATmega 2560. ATmega32U2 chip is a Atmel 8-bit AVR microcontroller with real-while-write capabilities, a 32KB flash memory, 1KB EEPROM, 1 KB SRAM, 22 general purpose I/O lines and one USART Atmel AT45DB161D คือ 16Mb ที่ ให้หน่วยความจำแฟลชข้อมูล ขับเคลื่อนโดย 3.3 V และใช้สำหรับบันทึกข้อมูล

## Sensors

เซ็นเซอร์ IMU มีอยู่ใน MPU-60006-แกน I2C MotionTracking ซึ่งรวมตัววัด combines a 3-axis accelerometer and a 3-axis gyroscope มีแรงดันไฟฟ้าจาก 2.375 V ถึง 3.46 และรับผิดชอบในการประมวลผลข้อมูลเซ็นเซอร์ทั้งหมดซึ่งจะช่วยเพิ่มประสิทธิภาพเมื่อเทียบกับกรณีที่มีการประมวลผลทำโดยระบบหลัก I2C serial bus ช่วยในการคำนวณข้อมูลจากเซ็นเซอร์อื่นๆ

มีการใช้ Honeywell HMC5883L multi-chip module แบบหลายชิปในแมกนีโทมิเตอร์ (หรือเข็มทิศ) เข็มทิศดิจิทัล3แกนนี้ถูกขับเคลื่อนจาก 2.16 V ถึง 3.6 V มีการใช้พลังงานต่ำที่ 100 $\mu$ A และให้ I2C serial bus เพื่อสื่อสารกับไมโครคอนโทรลเลอร์ ตามที่เรียกก่อน APM 2.6 ใช้เข็มทิศภายนอกเพื่อหลีกเลี่ยงรบกวนที่เกิดขึ้นบน APM รุ่น 2.0 และ 2.5 (เข็มทิศบนกระดาน)

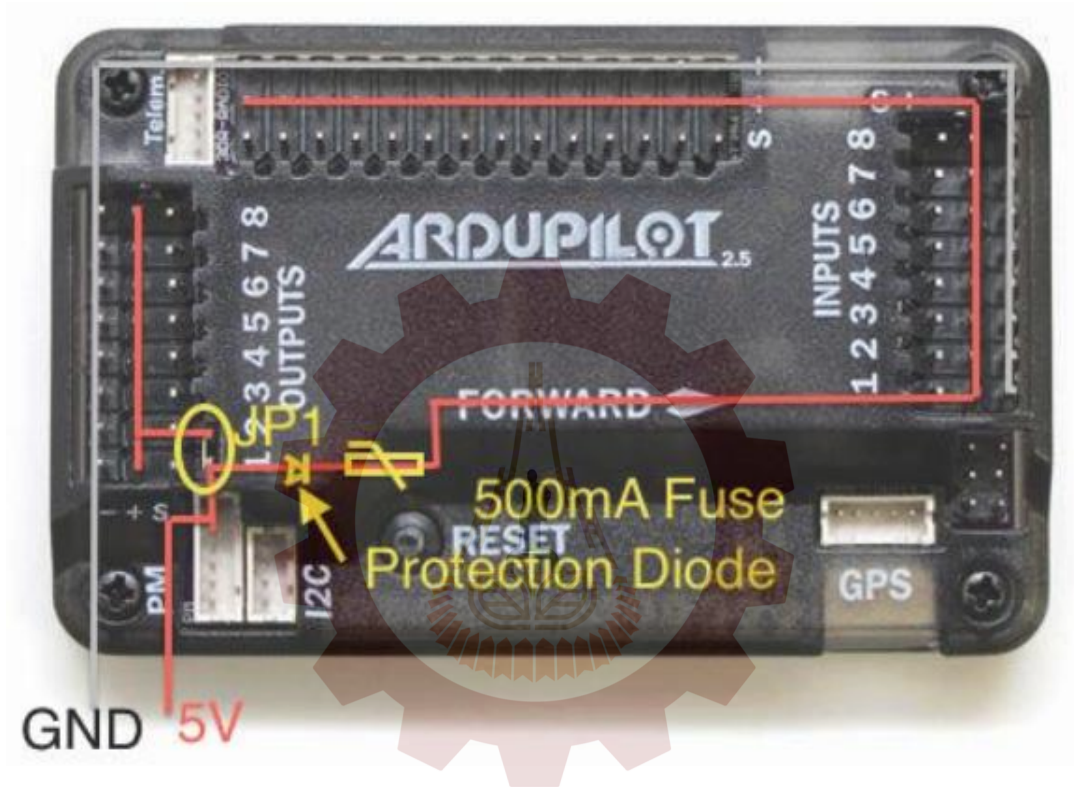
ก่อนหน้านี้ได้ระบุว่า APM 2.6 ถูกออกแบบมาเพื่อใช้กับ uBlox LEA-6H GPS ทั้ง 2.0 และ 2.5 รุ่นของ APM ทำให้การใช้งานของ MediaTek MT3329 GPS. uBlox GPS Module มีเข็มทิศบนกระดานและมีประสิทธิภาพที่เหนือกว่าเนื่องจากชิปที่ใหม่กว่าและเสาอากาศขนาดใหญ่ โมดูลการนำทางป้องกันการติดขัดนี้มีความเร็วสูงสุดของ 500m/s อัตราการอัปเดต 5Hz สูงถึง -162dBm, ความแม่นยำในแนวนอน 2.5 m โดยไม่ต้องช่วยให้ 0.5 องศา heading accuracy และกำลังไฟจาก 2.7 V ถึง 3.6 V ความดันบรรยากาศถูกวัดโดยใช้โมดูล MS5611 BA03 เซนเซอร์แรงดันบรรยากาศความละเอียดสูงและประสิทธิภาพสูงนี้สามารถอ่านค่าความสูงได้จากช่วง 10mBar และ 1200mBar มีอินเทอร์เฟซแบบอนุกรม (SPI) และพอร์ต serial I2C และทำงานได้ถึง 20MHz ด้วยแหล่งจ่ายไฟ 1.8 V ถึง 3.6 V

### Powering up APM board

ชุด APM ประกอบด้วย APM Power Module (PM) รูปที่ 2.9 Modulepower APM ที่มีความสามารถ 2.25 A ที่ 5.37 V โมดูลนี้เป็นผู้รับผิดชอบในการจัดหาพลังงานให้กับระบบและเครื่องรับ RC (ไม่มีเซอร์โว) เมื่อต้องการเพิ่มพลังให้กับตัวรับ RC สามารถใช้อินพุต APM ใดๆ (+ 5V and ground) พลังงานเฉพาะที่จ่ายเป็นสิ่งจำเป็นในการจัดหาเซอร์โวเพิ่มเติมเพราะ APM ควบคุมเซอร์โวเท่านั้น นอกจากนี้ยังตรวจสอบสถานะของ LiPo batter , voltage and current เพื่อให้พลังงานเพิ่มเติมกับ APM เป็นครั้งแรกที่จำเป็นที่จะเข้าใจวงจรพลังงานของมัน รูป 2.10 มันเป็นไปได้ที่จะเห็นว่า APM มีสองรางบวกแยก (เส้นสีแดง) ที่พลังงานขาเซนเซอร์และ i/o การใช้รูปแบบเหล่านี้เป็นเพราะความจริงที่ว่า APM มีการให้พลังงานแก่ส่วนประกอบภายในและระบบภายนอก (เช่นตัวรับสัญญาณ RC, โมดูล telemetry) และยังเป็นเพราะเชื่อมต่อเซอร์โวและอุปกรณ์อื่นๆ บนรางสำหรับเอาต์พุต (เซอร์โวและ ESCs) ที่จัดหาโดยและแหล่งพลังงาน; รางอื่นๆ สำหรับอินพุตและ Analogs (ตัวรับสัญญาณ RC และเซ็นเซอร์) ที่จัดมาให้โดย PM ในกรณีที่เซอร์โวไม่ได้ใช้เอาต์พุตสามารถขับเคลื่อนผ่าน PM วางจัมเปอร์ระหว่างสองหมุด รูปที่ 2.10



รูปที่ 2.12 APM power module



รูปที่ 2.13 APM2.6 dual positive

## สาขาวิชาวิศวกรรมเมคคาทรอนิกส์

### Digital and Analog I/O

## สำนักวิชาวิศวกรรมศาสตร์ มหาวิทยาลัยเทคโนโลยีสุรนารี

APM 2.6 มีขา digital I/O ทั้งหมด 16 ขา, 8 ขาสำหรับแต่ละกรณี ทั้งนี้ขึ้นอยู่กับ firmware ที่ติดตั้ง หมุดเหล่านี้จะมีฟังก์ชันที่แตกต่างกัน ในกรณีของ ArduRover มักจะใช้เพียง 4 ช่องทาง ช่องอินพุต RC สำหรับ ArduRover อดีปเตอร์จากช่อง 1 สำหรับ steering ช่อง 3 สำหรับ throttle, ช่อง 7 สำหรับบันทึก waypoint และช่อง 8 เพื่อสลับโหมดการนำทาง อินพุตอื่นๆ สามารถใช้ในการดำเนินการชนิดอื่นๆ ของการกระทำที่กำหนดโดยผู้ใช้ ในฐานะที่เป็นเอาต์พุตเพียงสองช่องทางที่ใช้ การเชื่อมต่อจะขึ้นอยู่กับยานพาหนะ

- สำหรับรถยนต์: ช่อง 1 สำหรับเซอร์โวและช่อง 3 สำหรับ ESC/มอเตอร์;
- Skid steer: ช่อง 1 สำหรับมอเตอร์ซ้ายและช่อง 3 สำหรับมอเตอร์ที่เหมาะสม

## Others

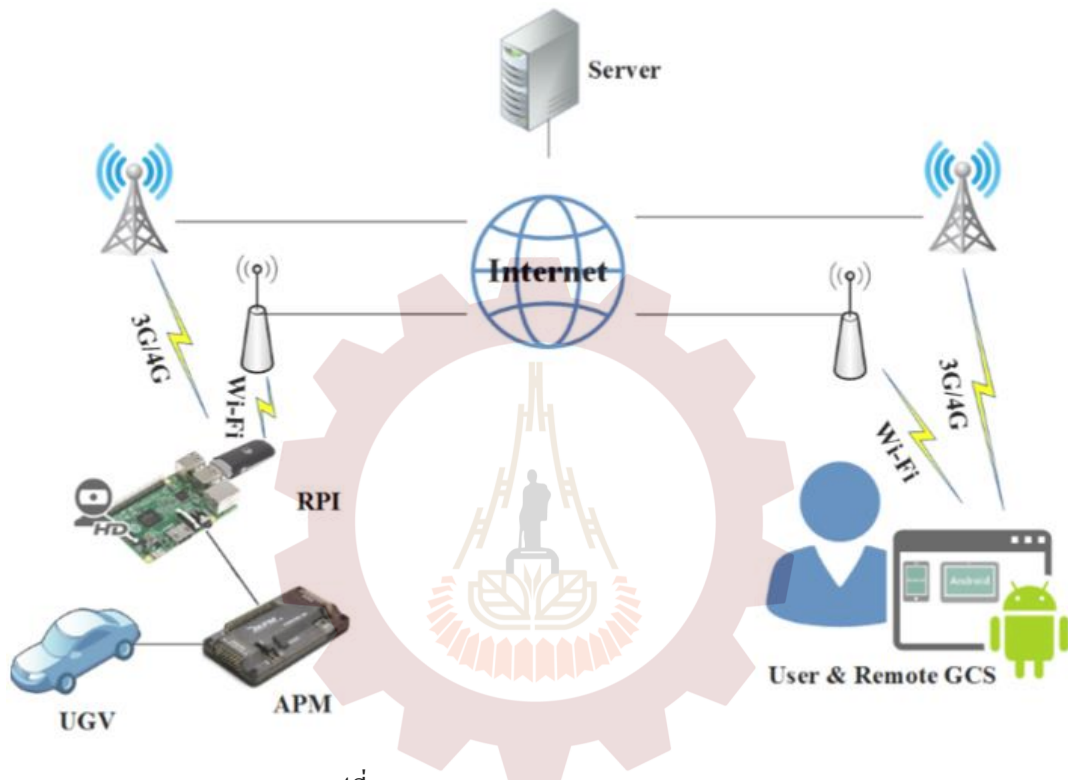
UARTs หรือ serial ports คือ interfaces ที่อนุญาตให้มีการเชื่อมต่อระหว่าง APM และอุปกรณ์ภายนอกได้อย่างง่ายดาย PM port ช่วยให้สามารถเชื่อมต่อ PM และตรวจสอบแบตเตอรี่ได้ I2C serial bus มีการเชื่อมต่อกับอุปกรณ์ฟองหลายอย่างในวิธีที่ง่าย GPS interface (ทั้งเก่าและใหม่) คือการป้อนข้อมูลสำหรับโมดูล GPS; Telemetry port ช่วยให้การเชื่อมต่ออุปกรณ์สำหรับการวัดระยะไกลและการควบคุมทิศทาง

APM มี micro USB port ที่ให้การเชื่อมต่อโดยตรงกับคอมพิวเตอร์

(LEDs) จะระบุสถานะปัจจุบันของยานพาหนะ, Autopilot and GPS จะระบุอย่างถูกต้องบนรูป 4.3 และอธิบายความหมายในตาราง 2.2

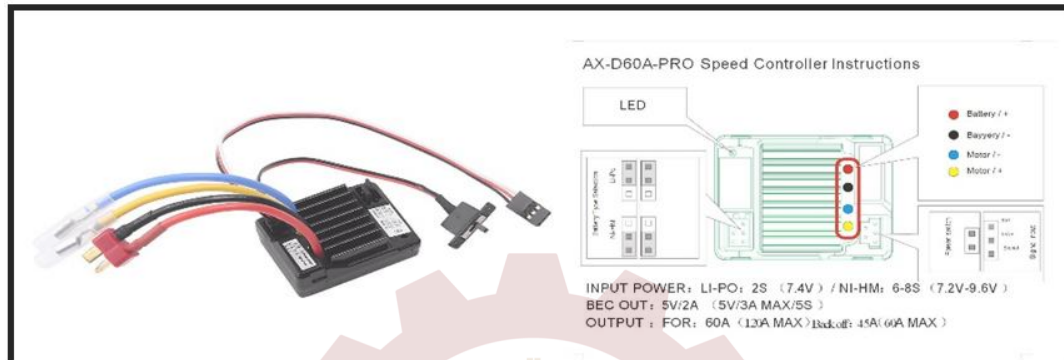
LED	Behavior
	Solid = armed, motor(s) will spin when throttle raised
A(red)	Single Blink = disarmed, motor(s) will not spin Double Blink = disarmed, motor(s) will not spin, cannot arm because of failure in pre-arm checks
B(yellow)	Only flashes along with A and B during calibration or as part of the in-flight auto trim feature
	Solid = GPS working, 3D lock
C(blue)	Blinking = GPS working, no lock OFF = GPS not attached or not working
Power	ON when powered
PPM/Serial	Flashes when data is being transmitted

สำนักวิชาวิศวกรรมศาสตร์และเทคโนโลยีสุรนารี ตารางที่ 2.3 APM LEDs behavior and meaning



รูปที่ 2.14 Architecture of the whole system

ระบบที่นำเสนอที่แสดงในรูป 2.11 ช่วยให้ผู้ใช้สามารถควบคุมเวลาจริงและตรวจสอบ UGV โดยใช้เครือข่ายไร้สายที่แตกต่างกัน แอปพลิเคชัน GCS ระยะไกลรวมศูนย์และแสดงข้อมูล telemetry ทั้งหมดจากยานพาหนะที่มีการเชื่อมต่อและช่วยให้ผู้ใช้สามารถส่งการควบคุมคำสั่งเช่นเดียวกับการดูวิดีโอที่ถ่ายบนเครื่องบินในเวลาจริง เซิร์ฟเวอร์สามารถแบ่งออกเป็น 3 ส่วนที่แตกต่างกัน: เซิร์ฟเวอร์สายงานการผลิตสำหรับข้อมูลและคำสั่งเซิร์ฟเวอร์สื่อสำหรับสตรีมวิดีโอและฐานข้อมูลเซิร์ฟเวอร์ที่ข้อมูลประจำตัวของผู้ใช้และการเรียกใช้ผลลัพธ์จะถูกเก็บไว้ ส่วนสุดท้ายคือออนบอร์ดอิเล็กทรอนิกส์: APM และ RPI ที่นี้จะใช้ ArduRover สำหรับ APM และ Sakis3G, สกริปต์วิดีโอ, PiCamera และ MAVProxy สำหรับ RPI.



### รูปที่ 15 อุปกรณ์ควบคุมความเร็วและทิศทาง

สำหรับ 1/10 รถ RC ซึ่งใช้มอเตอร์แปร่ง 540 หรือ 550

คำอธิบาย:

พารามิเตอร์พื้นฐาน: ไปข้างหน้า 60A ย้อนหลัง 45A

เอาต์พุต BEC: 5 V 2A

น้ำหนัก: 45 กรัม

อินพุตแรงดันไฟฟ้าช่วง: 2 ~ 3 S แบตเตอรี่ลิเทียมหรือ 5 ~ 9 เซลล์โลหะนิกเกิลไฮไดรด์แบตเตอรี่

ขนาดการปรับไฟฟ้า: 45x35x21mm

แพคเกจรวม: 60A ESC x 1

หมายเหตุ: ค่าเบี่ยงเบนสีอาจแตกต่างกันเนื่องจากการตั้งค่าจอภาพที่แตกต่างกันโปรดเข้าใจ



รูปที่ 2.16 Micro Servo Motor SG90 4.8V 1.6kg

Micro Servo Motor SG90 4.8V 1.6kg ไมโคร เซอร์โว มอเตอร์ 180 องศา

-ขนาด 21.5mm x 11.8mm x 22.7mm

-น้ำหนัก 9 กรัม

-ความเร็วเมื่อไม่มีโหลด 0.12 วินาที/60องศา (4.8V)

-แรงบิด 1.2-1.6kg/cm (4.8V)

-ทำงานที่อุณหภูมิ -30 - 60 องศาเซลเซียส

-เวลาหยุดก่อนรับคำสั่งใหม่ 7 มิลลิวินาที

-ทำงานที่ไฟ DC 4.8V - 6V



รูปที่ 2.17 APM Pix Pixhawk

รายละเอียดสินค้า M8N โมดูลจีพีเอสเชลต์ GPS ที่มีความแม่นยำสูงเข้มทิศในตัวสำหรับผู้ถือ APM Pix Pixhawk

สำนักวิทยบริการและเทคโนโลยีสุรนารี

-M8n GPS รุ่นใหม่ที่มีความแม่นยำสูงใช้พลังงานต่ำ

-แสงจีพีเอสเท่านั้นที่สามารถสว่างขึ้นเมื่อมันค้นหาสัญญาณดาวเทียมกลางแจ้ง; รมมได้รับการแก้ไขแล้ว, มันไม่สามารถแฟลชและการเปลี่ยนแปลง

-ขนาดเล็ก MINI โมดูลจีพีเอสมีความแข็งแรงและน้ำหนักเบาในการพกพา

-เสียงรบกวนรูปบนชิป LNA (m8m) LNA พิเศษสำหรับเสียงรบกวนต่ำสุด

-ป้องกันการติดขัดใช้งาน CW การตรวจสอบและการกำจัด พิเศษ onboard เห็นวงผ่านกรอง

คำอธิบาย:M8n โมดูลจีพีเอสเหมาะสำหรับ Pix/APM อินเทอร์เน็ตเครื่องควบคุมการบินM8n โมดูลจีพีเอสมีการออกแบบหมอนนวดขนาดเล็กและน้ำหนักเบาสำหรับพกพามาพร้อมกับขาตั้งและอื่นๆ

อุปกรณ์เสริมเพื่อติดตั้ง, โมดูลจีพีเอสคือติดตั้งได้ง่ายความถูกต้องอัตราการใช้พลังงานความสามารถในการค้นหาความเร็วและปริมาณของดาวเทียมได้รับการปรับปรุงอย่างมากในโหมด GPS เสียงพิมพ์สามารถเลื่อนไปเหนือลงจุดที่ถูกล็อคและระดับความสูงได้อย่างถูกต้อง, และมันสามารถมีเสถียรภาพในช่วงเล็กๆแม้ในสถานการณ์ลมสูง

ข้อมูลจำเพาะ: วัสดุ: คาร์บอนไฟเบอร์

สี: แสดงเป็นภาพ

ขนาด: 55x14 มม.(เฉพาะ โมดูล)

ความยาวสาย: 320 มม.

หมายเหตุ: เนื่องจากความแตกต่างของการตั้งค่าแสงและหน้าจอสีของรายการอาจจะแตกต่างจากภาพเล็กน้อย

โปรดให้มีความแตกต่างเล็กน้อยเนื่องจากการวัดด้วยตนเองที่แตกต่างกัน

แพคเกจรวม:

1 x m8n โมดูลจีพีเอส (อื่นๆอุปกรณ์เสริมเพื่อติดตั้งรวมอยู่ด้วย)

สำนักวิชาวิศวกรรมศาสตร์ มหาวิทยาลัยเทคโนโลยีสุรนารี



รูปที่ 2.18433 MHz หรือ 915 วิทยูเมกกะเฮิร์ต โมดูลพร้อมเสาอากาศ

**433 MHz หรือ 915 วิทยูเมกกะเฮิร์ตโมดูลพร้อมเสาอากาศ**

ชื่อยี่ห้อ: Holybro

รุ่น: 433 MHz/915 MHz (อุปกรณ์เสริม)

ชื่อสินค้า: 500mW วิทยูรับส่งชุด telemetry V3

การใช้งาน: ใช้งานร่วมกับ pixhawk4 เครื่องควบคุมการบิน

ขนาด: 26x53x10.7 มม.(ไม่มีเสาอากาศ)

การประมวลผล: กำลังไฟ 100mW ผลผลิตสูงสุด (ปรับได้)-117 dBm รับความไวเฟิร์มแวร์ sik โอปินซอร์ส ขั้วต่อ RP-SMA การสื่อสารแบบ full-duplex แบบ 2 ทิศทางผ่านอินเทอร์เฟซ Adaptive TDM UART ลิงก์แบบอนุกรม โปร่งใส กรอบโปรโตคอล mavlink ความถี่กระโดดกระจายสเปกตรัม (FHSS) กำหนดรอบหน้าที่การแก้ไขข้อผิดพลาดแก้ไขข้อผิดพลาดได้ถึง 25% ของข้อผิดพลาดบิตเฟิร์มแวร์แบบโอเพนซอร์ส กำหนดค่าผ่านการวางแผนภารกิจและนักวางแผน APMFt230x เป็น USB ถึงพื้นฐาน UART IC

กำลังไฟ ,แรงดันไฟฟ้า: 5VDC (จาก USB หรือ JST-GH)

ส่งกระแส: 500 mA ที่ 27dBm

รับกระแสไฟ: 25 mA

อินเทอร์เฟซแบบอนุกรม: 3.3 V UART

ไฟ LED สถานะ: วิทยุมีไฟ LED แสดงสถานะ 2 ดวงสีแดงและสีเขียวหนึ่งดวง ความหมายของรัฐ LED ที่แตกต่างกันคือสีเขียว LED กระพริบ-คั่นหาวิทยุอื่น GREEN LED Solid-Link ก่อตั้งขึ้นพร้อมกับวิทยุอื่นสีแดง LED กระพริบ-ส่งข้อมูลสีแดง LED Solid-in อัปเดตเฟิร์มแวร์ โหมดเชื่อมต่อกับ pixhawk4

ใช้ขั้วต่อ 4 PIN JST-GH ที่ควรมีมาพร้อมกับวิทยุเพื่อเชื่อมต่อวิทยุกับ pixhawk4 ของคุณ "เทเลม 1"

("Telem2" ยังสามารถใช้แต่คำแนะนำเริ่มต้นคือ "telem1") เชื่อมต่อกับพีซีการเชื่อมต่อวิทยุกับพอร์ตคอมพิวเตอร์แบบมินิของคุณเป็นเรื่องง่ายเช่นเดียวกับการเชื่อมต่อ Micro สาย USB (ซึ่งควรจะได้รับการรวมกับวิทยุ) ไปยังเครื่องคอมพิวเตอร์ของคุณ ไดรเวอร์ที่จำเป็นควรติดตั้งโดยอัตโนมัติและวิทยุจะปรากฏเป็นใหม่ "USB พอร์ตอนุกรม" ใน Windows Device Manager ภายใต้อัปเดต (COM & LPT)

ภารกิจวางแผนของพอร์ต COM เลือกลงลงยังควรมีใหม่เดียวกันพอร์ต COM.

แพคเกจรวม: ความถี่ 2X433 MHz หรือ 915 วิทยุแมกกะเฮิร์ต โมดูลพร้อมเสาอากาศ, 1x ไมโคร-สาย USB, 1x แอนดรอยด์โอทีจีสายอะแดปเตอร์, สายเคเบิล 1x GH 6p-gh4 P, สายเคเบิลขนาด 1x MLX 6p-gh4 P, 2x อะแดปเตอร์ SMA

หมายเหตุ: ส่วนเบี่ยงเบนของสีอาจแตกต่างกันเนื่องจากการตั้งค่าจอภาพที่แตกต่างกัน



รูปที่ 2.19 สินค้า Flysky FS-i6X 2.4GHz 6CH AFHDS

สาขาวิชา วิศวกรรมเมคคาทรอนิกส์  
 สำนักวิชาวิศวกรรมศาสตร์ มหาวิทยาลัยเทคโนโลยีสุรนารี

Flysky FS-i6X 2.4GHz 6CH AFHDS เครื่องส่งสัญญาณ RC พร้อม FS-iA6B ตัวรับสัญญาณ FS I6X RC

การสื่อสารแบบสองทิศทาง มีความสามารถในการส่งและรับข้อมูลเครื่องส่งสัญญาณแต่ละตัวสามารถรับข้อมูลจากอนุกรม, ระดับความสูงและเซ็นเซอร์ประเภทอื่นๆการสอบเทียบเซอร์โวและการสนับสนุน I-Bus.

ความถี่ในการกระโดดหลายช่อง --- แบนด์วิดธ์ระบบนี้มีตั้งแต่ 2.408 GHz ถึง 2.475 GHz. นี้คือแบ่งเป็น 135 ช่อง เครื่องส่งสัญญาณแต่ละตัวจะกระโดดระหว่าง 16 ช่อง (32 สำหรับญี่ปุ่นและฉบับภาษาเกาหลี) ในการสั่งซื้อเพื่อลดรบกวนจากเครื่องส่งสัญญาณอื่นๆ

Omni-Directional GAIN ANTENNA --- ประสิทธิภาพสูง Omni-Directional เสาอากาศกำลังส่งสูงลดสัญญาณรบกวน, ในขณะที่ใช้พลังงานน้อยลงและรักษาการเชื่อมต่อที่เชื่อถือได้ที่แข็งแกร่ง

ระบบความรู้ความเข้าใจ ID ที่ไม่ซ้ำกัน --- แต่ละเครื่องส่งและเครื่องรับสัญญาณมี ID ที่ไม่ซ้ำกันของตัวเอง เมื่อเครื่องส่งและเครื่องรับสัญญาณได้รับการจับคู่พวกเขาจะเพียงติดต่อกับแต่ละอื่นๆ, การป้องกันระบบอื่นๆ โดยไม่ได้ตั้งใจเชื่อมต่อหรือรบกวนการทำงานของระบบ

ใช้: ยานพาหนะและของเล่นควบคุมระยะไกล

รีโมทคอนโทรลอุปกรณ์ต่อพ่วง/อุปกรณ์: รีโมทคอนโทรล

วัสดุ: วัสดุคอมโพสิต

สำหรับประเภทยานพาหนะ: เครื่องบิน

คุณลักษณะขับเคลื่อนที่สื่อ: assemblage

อุปกรณ์เครื่องใช้: คลาสประกอบ

หมายเลขรุ่น: FS-i6X

คุณสมบัติ: การสื่อสารแบบสองทิศทางมีความสามารถในการส่งและรับข้อมูลเครื่องส่งสัญญาณแต่ละตัวสามารถรับข้อมูลจากอูณหภูมิจากอุณหภูมิ, ระดับความสูงและเซ็นเซอร์ประเภทอื่นๆ การสอบเทียบเซอร์โวและการสนับสนุน I-Bus. ความถี่ในการกระโดดหลายช่องแบนด์วิดธ์ระบบนี้มีตั้งแต่ 2.408 GHz ถึง 2.475

GHz. นี่ก็แบ่งเป็น 135 ช่อง เครื่องส่งสัญญาณแต่ละตัวจะกระโดดระหว่าง 16 ช่อง (32 สำหรับญี่ปุ่นและฉบับภาษาเกาหลี) ในการส่งชื่อเพื่อลดรบกวนจากเครื่องส่งสัญญาณอื่นๆ Omni-Directional GAIN ANTENNA ประสิทธิภาพสูง Omni-Directional เสาอากาศกำลังส่งสูงลดสัญญาณรบกวน, ในขณะที่ใช้พลังงานน้อยลงและรักษาการเชื่อมต่อที่เชื่อถือได้ที่แข็งแกร่งระบบความรู้ความเข้าใจ ID ที่ไม่ซ้ำกันแต่ละเครื่องส่งและเครื่องรับสัญญาณมี ID ที่ไม่ซ้ำกันของตัวเอง เมื่อเครื่องส่งและเครื่องรับสัญญาณได้รับการจับคู่พวกเขาจะเพียงติดต่อกับแต่ละอื่นๆ, การป้องกันระบบอื่นๆ โดยไม่ได้ตั้งใจเชื่อมต่อหรือรบกวนการทำงานของระบบ

## บทที่ 3

### วิธีดำเนินการทำโครงการ

#### เตรียมอุปกรณ์หลัก

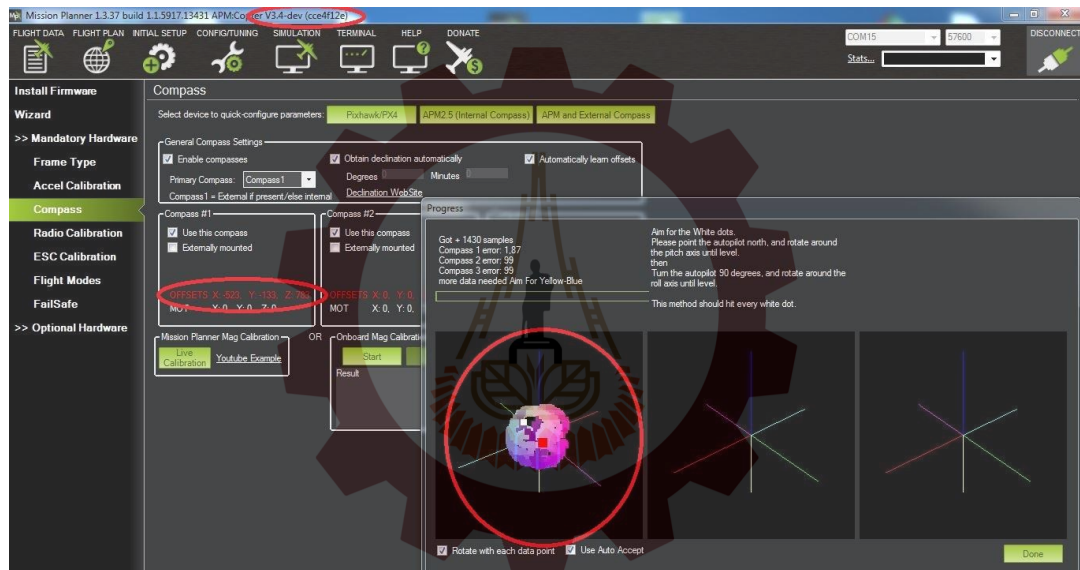
##### 1. ติดตั้งโปรแกรม Mission Planner ลงคอมพิวเตอร์ที่ใช้งาน

WP	Radius	Lat	Long	Alt	Radius	Order	Alt	Order	Alt
1	WAYPOINT	0	0	0	35.94107888	117.8277888	100	X	0
2	WAYPOINT	0	0	0	35.94107888	117.8277888	100	X	0
3	WAYPOINT	0	0	0	35.94107888	117.8277888	100	X	0
4	WAYPOINT	0	0	0	35.94107888	117.8277888	100	X	0
5	WAYPOINT	0	0	0	35.94107888	117.8277888	100	X	0

รูปที่ 3.1 โปรแกรม Mission Planner

## ขั้นตอนการสอบเทียบมีดังนี้

1.1 หมุน BoardAPM 2.6 รอบตัวเองไปทางแกน X สองรอบหมุนกลับมาทางแกน X- สองรอบหมุนไปทางแกน Y สองรอบ Y- สองรอบจบการสอบเทียบ

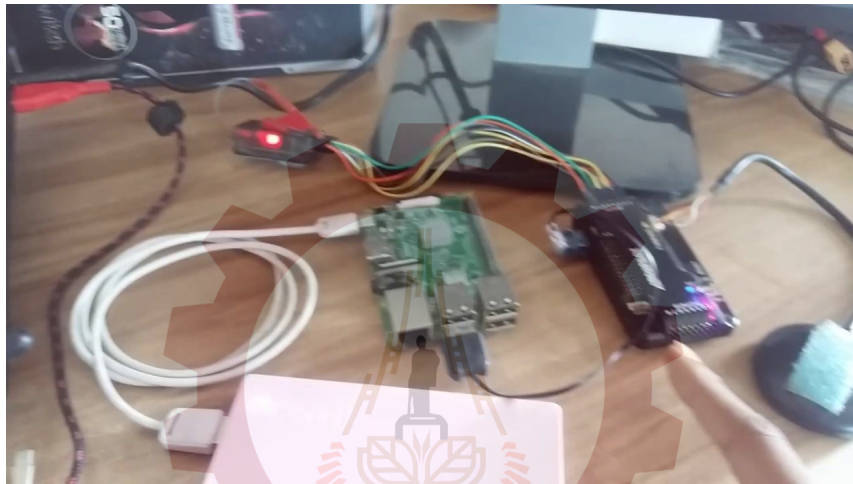


รูปที่ 3.2 การสอบเทียบทิศทาง

สาขาวิชาวิศวกรรมเมคคาทรอนิกส์

สำนักวิชาวิศวกรรมศาสตร์ มหาวิทยาลัยเทคโนโลยีสุรนารี

2. ทำการ connect กับ BoardAPM 2.6 flight control เพื่อทำการสอบเทียบทิศทาง โดยใช้โหมด compass ซึ่งใช้โหมด สอบเทียบเพื่อให้กับ BoardAPM 2.6 จดจำทิศทางและให้ gyro sensor จดจำระดับสูง

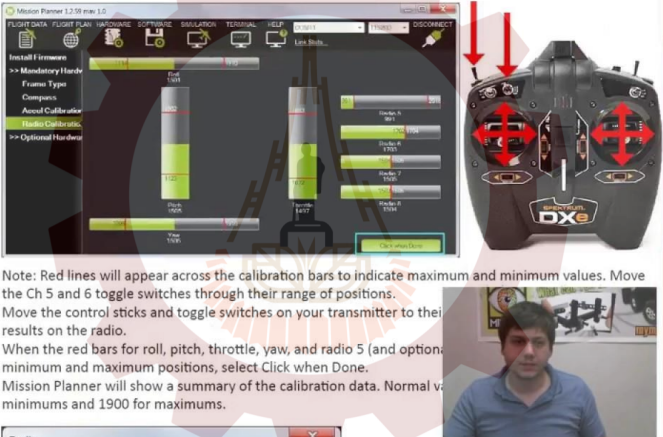


รูปที่ 3.3การสอบเทียบ board และ Jairo sensor

สาขาวิชาวิศวกรรมเมคคาทรอนิกส์  
สำนักวิชาวิศวกรรมศาสตร์ มหาวิทยาลัยเทคโนโลยีสุรนารี

3. ทำการสอบเทียบ Remote เข้าโปรแกรม Mission Planner เลื่อนหาเมนู Calibration กดคำว่า Calibration คั่นโยกด้านขวามือจุดสุดคั่นกลับลงมาให้สุดคั่นกลับไปตำแหน่งตรงกลางไปที่โปรแกรม Planner จะมีตัวเลขแสดงกำกับอยู่ตัวเลขนั้นแสดงถึงจำนวน pulse ที่ใช้ควบคุมความเร็วหรือการเบี่ยงเบนทิศทางการเลี้ยว

- In Mission Planner, click on the green "Calibrate Radio" button in the lower right of the window. Mission Planner will call a dialog window to ensure radio control equipment is on, battery is not connected, and propellers are not attached. Select OK.



Note: Red lines will appear across the calibration bars to indicate maximum and minimum values. Move the Ch 5 and 6 toggle switches through their range of positions.

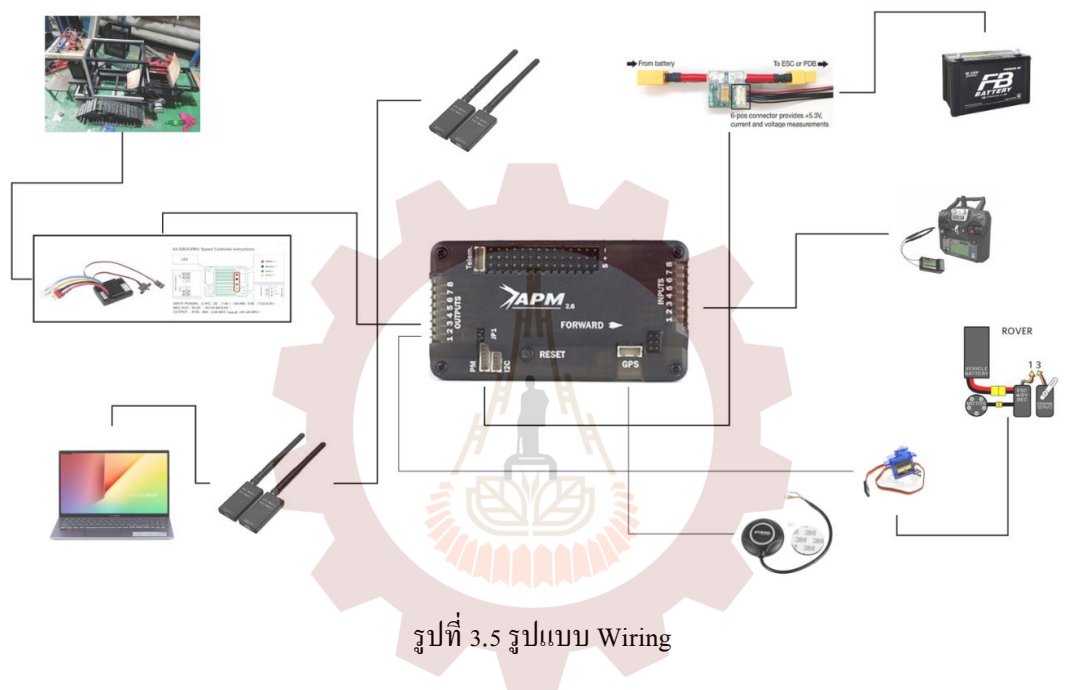
- Move the control sticks and toggle switches on your transmitter to their minimum and maximum positions, select Click when Done.
- When the red bars for roll, pitch, throttle, yaw, and radio 5 (and optional radio 6) are at their minimum and maximum positions, select Click when Done.
- Mission Planner will show a summary of the calibration data. Normal values are 1000 for minimums and 1900 for maximums.

รูปที่ 3.4 การสอบเทียบรีโมต

สาขาวิชาวิศวกรรมเมคคาทรอนิกส์

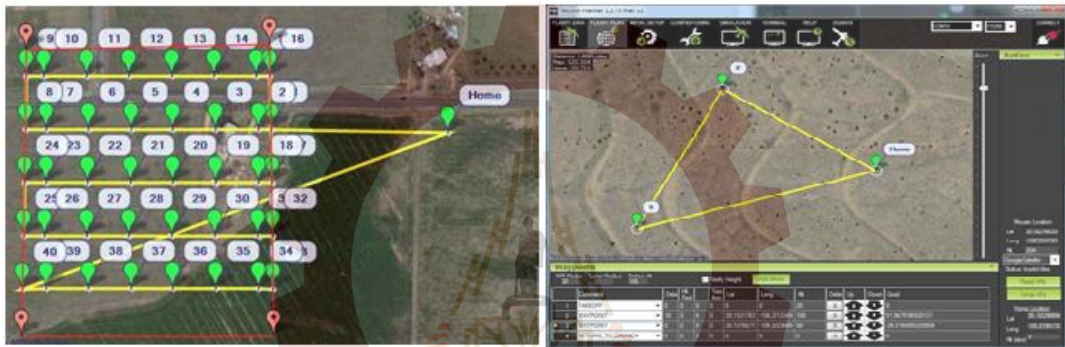
สำนักวิชาวิศวกรรมศาสตร์ มหาวิทยาลัยเทคโนโลยีสุรนารี

#### 4. ขั้นตอนการ Wiring การเชื่อมต่อสาย



สาขาวิชาวิศวกรรมเมคคาทรอนิกส์  
สำนักวิชาวิศวกรรมศาสตร์ มหาวิทยาลัยเทคโนโลยีสุรนารี

5. ไปที่เมนู Way point คลิกไปที่หน้าจจะแสดงถึงเวลาปัจจุบันเมื่อต้องการให้รถเคลื่อนที่ด้วยการสั่งงานด้วย GPS ด้วยแผนที่ใช้ mouse ไปคลิกบริเวณบนที่ที่ต้องการให้รถวิ่งผ่านและกด Icon ที่แสดงคำว่า Go โปรแกรมจะทำการดาวโหลดที่แผนที่โหลดลงไป ใน BoardAPM 2.6 ในขั้นตอนนี้โปรแกรมจะทำการในโหมด Auto เท่านั้นเมื่อใช้โหมด Manual ก็ต้องใช้การควบคุมผ่าน Remote



รูปที่ 3.6 การกำหนดเส้นเดินรถ

สาขาวิชาวิศวกรรมเมคคาทรอนิกส์  
สำนักวิชาวิศวกรรมศาสตร์ มหาวิทยาลัยเทคโนโลยีสุรนารี

6. การสั่งงานในโหมด Auto ในโหมด Manual เมื่อเราต้องการใช้งานในโหมด Auto ในทำการเลื่อน Switch SWC ที่อยู่บน Remote ให้ไปอยู่ตำแหน่งที่ 0board จะทำการรับสัญญาณจากตัว receiver เพื่อไปสั่งงานให้โปรแกรมแผนที่ทำงานและรถทำงานอัตโนมัติการใช้งานในโหมดแมนนวลให้เลื่อนสวิท SWC ไปตำแหน่งที่สองระบบจะทำการสั่งงานให้ board ปลดล็อกทำงานอิสระและยกเลิกโปรแกรมแผนที่ที่ทำงานในโหมด Auto อยู่



รูปที่ 3.7 รีโมทควบคุมระยะไกล

## การ setup ใน mission planner

1. ทำการ connect board APM2.6 กับ software mission planner



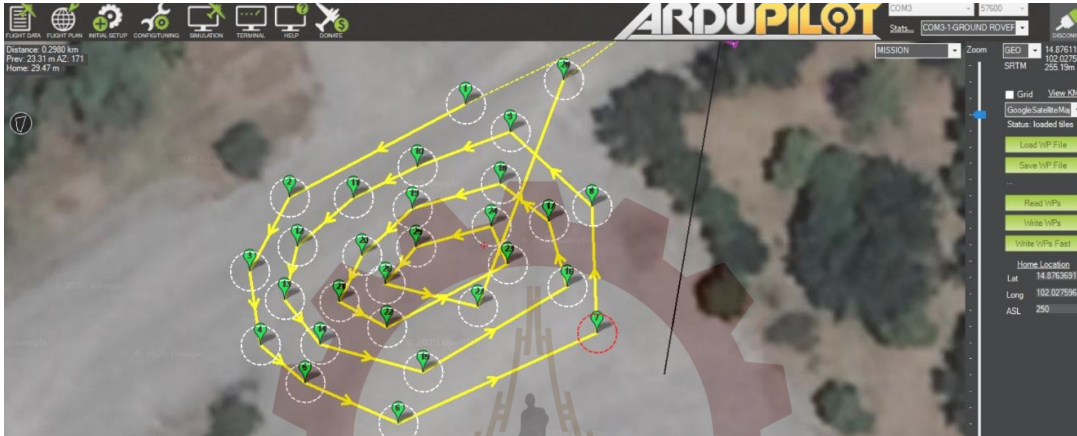
รูปที่ 3.8 การ connect board

2. ทำการ connect เส้าอากาศ 915 MHz



รูปที่ 3.9 การ connect เส้าอากาศ

### 3.กำหนดเส้นทางเดินใน softwaremission planner



รูปที่ 3.10 การกำหนดเส้นทางเดินของรถ

### 4.ทำการ write WPs



รูปที่ 3.11 การ Write WPs

### 5.ทำการ Read WPs



รูปที่ 3.12 การ Read WPs

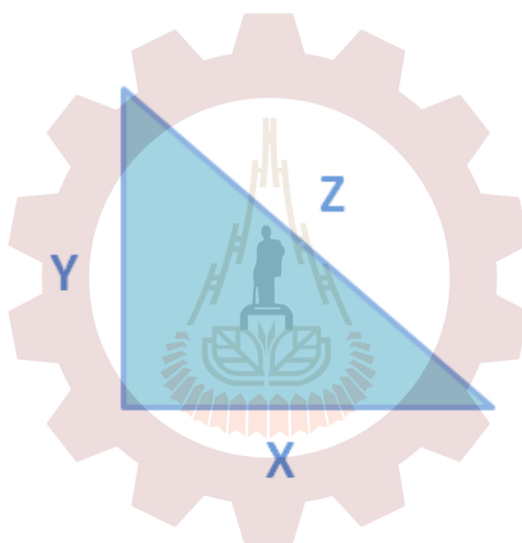
### 6.กด auto mode ที่ remote control

สาขาวิชาวิศวกรรมเมคคาทรอนิกส์  
สำนักวิชาวิศวกรรมศาสตร์ มหาวิทยาลัยเทคโนโลยีสุรนารี

การคำนวณระยะห่าง ของตำแหน่ง GPS 2จุด

เมื่อกำหนดให้  $X = \text{latitude}$  และ  $Y = \text{longitude}$

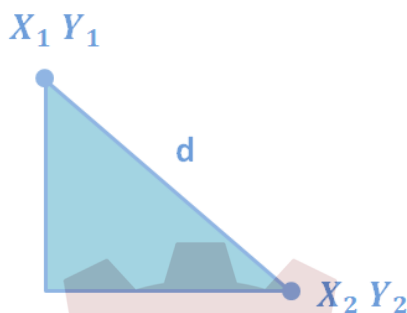
สูตรที่นำมาประยุกต์ใช้แก้ปัญหานี้คือ สูตรพีทาโกรัส ครับ ซึ่งมีรูปแบบดังนี้



สาขาวิชาวิศวกรรมเมคคาทรอนิกส์

สำนักวิชาวิศวกรรมศาสตร์ มหาวิทยาลัยเทคโนโลยีสุรนารี

$$Z = \sqrt{X^2 + Y^2}$$



$$d^2 = (X_2 - X_1)^2 + (Y_2 - Y_1)^2$$

$$d = \sqrt{(X_2 - X_1)^2 + (Y_2 - Y_1)^2}$$

แปลงให้เป็นสูตรคำนวณระยะทาง จึงได้เป็น

แต่เนื่องจากโลกไม่ได้เป็นพื้นแบนราบ (เพราะโลกเป็นทรงกลม) การคำนวณระยะทางจึงต้องมีการปรับปรุงสูตรอีกเล็กน้อย เพื่อให้มีความถูกต้องตามระยะทางที่เป็นจริง (ตามความโค้งของโลก) ด้วยการเพิ่มตัวแปรค่าคลาดเคลื่อนลงไป เมื่อละติจูดมีการเปลี่ยนแปลงทุกๆ 1 องศา จึงได้สูตรใหม่เป็นดังนี้

(จากภาพจะเห็นว่า distance1 และ distance2 มีความยาวไม่เท่ากัน (distance1 แลบนกว่า) ทั้งๆ ที่มีลองจิจูด 0 และลองจิจูด 50 เหมือนกัน ที่ละติจูดต่างกัน (0 กับ 60) นี่จึงเป็นที่มาของค่าคลาดเคลื่อนหรือค่าความแตกต่างของระยะทางในแต่ละช่วงละติจูดครับ)

$$d = \sqrt{(X_2 * a_2 - X_1 * a_1)^2 + (Y_2 * b_2 - Y_1 * b_1)^2}$$

d = ระยะห่างระหว่าง gps1 และ gps2

$X_1$  = พิกัดละติจูดของ gps1

$Y_1$  = พิกัดลองจิจูดของ gps1

$X_2$  = พิกัดละติจูดของ gps2

$Y_2$  = พิกัดลองจิจูดของ gps2

$a_1$  = ค่าการเปลี่ยนแปลงระยะทางของเส้นละติจูด เมื่อละติจูดเปลี่ยนแปลงทุกๆ 1 องศา ของ gps1

$b_1$  = ค่าการเปลี่ยนแปลงระยะทางของเส้นลองจิจูด เมื่อละติจูดเปลี่ยนแปลงทุกๆ 1 องศา ของ gps1

$a_2$  = ค่าการเปลี่ยนแปลงระยะทางของเส้นละติจูด เมื่อละติจูดเปลี่ยนแปลงทุกๆ 1 องศา ของ gps2

$b_2$  = ค่าการเปลี่ยนแปลงระยะทางของเส้นลองจิจูด เมื่อละติจูดเปลี่ยนแปลงทุกๆ 1 องศา ของ gps2

ค่า a และ b ขึ้นอยู่กับค่า X (latitude) ตารางค่าความแตกต่างของ latitude และ longitude ในแต่ละสถานที่เมื่อมีการเปลี่ยนแปลง latitude ทุกๆ 1 องศา ค่า a คือ column ที่ 3 และค่า b คือ column ที่ 5

Latitude	N-S radius of curvature <i>M</i>	Surface distance per 1° change in latitude	E-W radius of curvature <i>N</i>	Surface distance per 1° change in longitude
0°	6335.44 km	110.574 km	6378.14 km	111.320 km
15°	6339.70 km	110.649 km	6379.57 km	107.551 km
30°	6351.38 km	110.852 km	6383.48 km	96.486 km
45°	6367.38 km	111.132 km	6388.84 km	78.847 km
60°	6383.45 km	111.412 km	6394.21 km	55.800 km
75°	6395.26 km	111.618 km	6398.15 km	28.902 km
90°	6399.59 km	111.694 km	6399.59 km	0.000 km

ตารางที่ 3.1 แสดงค่าความแตกต่างของ latitude และ longitude

## บทที่ 4

### ผลการทดลองและวิเคราะห์ผล

หลังจากการออกแบบรถเก็บขยะอัตโนมัติขั้นต้นต่อไปคือการทดสอบการทำงานเพื่อให้เป็นไปตามขอบเขตที่วางไว้ โดยทำการทดสอบการควบคุมการเคลื่อนที่ตาม GPS map และการเก็บขยะอัตโนมัติ ผลการทดสอบสามารถทำตามขอบเขตที่วางไว้คือ

- 1) รัศมีในการสั่งงานได้ไกลจากผู้ควบคุม 300-500 เมตร
- 2) สามารถทำการเก็บขยะได้ในพื้นที่ราบไม่มีสิ่งกีดขวาง
- 3) ควบคุมด้วยการส่งสัญญาณจากGPSหรือรีโมทควบคุมระยะไกล
- 4) ทำงานได้ในระบบอัตโนมัติและใช้คนควบคุมด้วยรีโมท



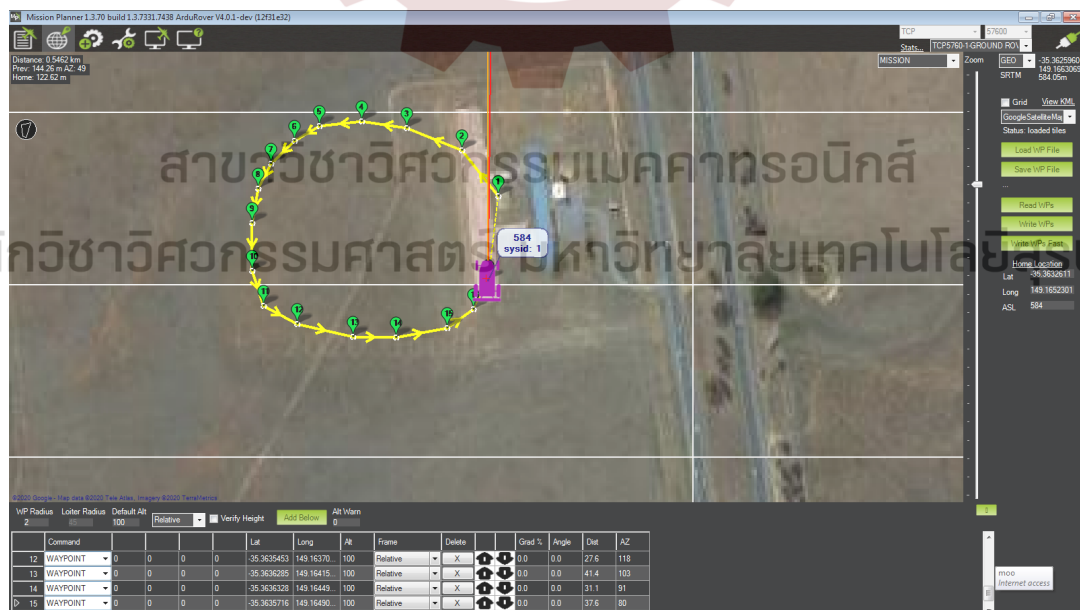
รูปที่ 4.1 รถเก็บขยะที่สมบูรณ์

## ผลการทดลอง

## การวิ่งตามพิกัด GPS ในรูปแบบเส้นทางต่างๆ

ครั้งที่	รูปแบบการวิ่ง	ระยะทางทั้งหมด	จำนวนรอบ	จำนวนครั้งที่ error	ระยะที่ error	% error	หมายเหตุ
1	วงกลม	200 m.	4 รอบ	3 ครั้ง	50 cm.	25%	
2	ก้นหอย	600 m.	1 รอบ	4 ครั้ง	1 m.	16%	
3	พื้นปลา	120 m.	1 รอบ	2 ครั้ง	1.5 m.	12.5%	
4	ตรง	300 m.	2 รอบ	ไม่มี error	ไม่มี error	0%	
5	สี่เหลี่ยมผืนผ้า	800 m.	2 รอบ	4 ครั้ง	3 m.	37.5%	

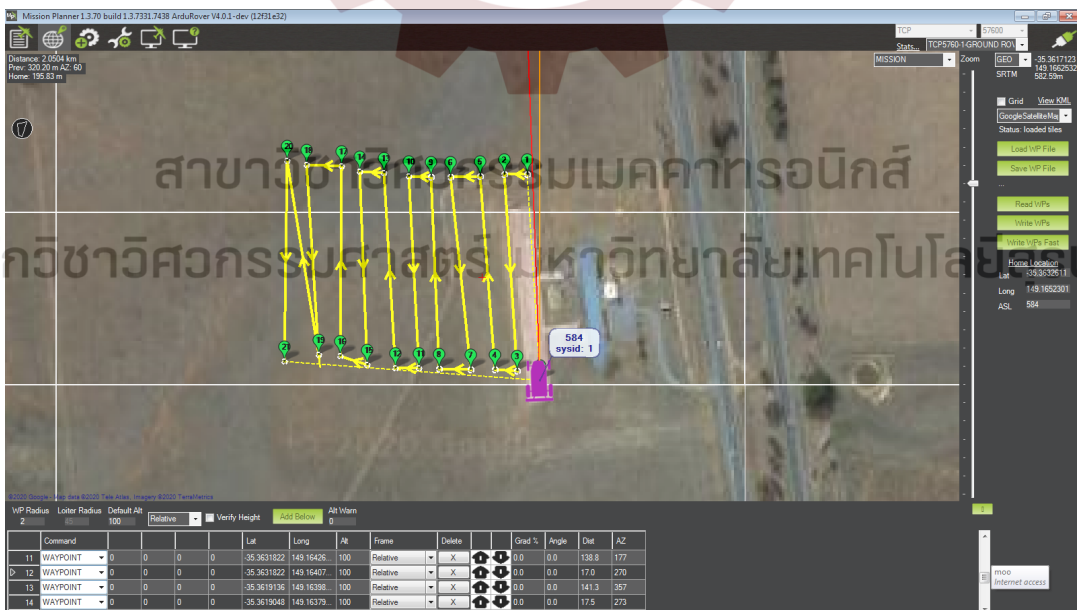
ตารางที่ 4.1 แสดงผลการทดลองการวิ่งตามพิกัด GPS ในรูปแบบเส้นทางต่างๆ



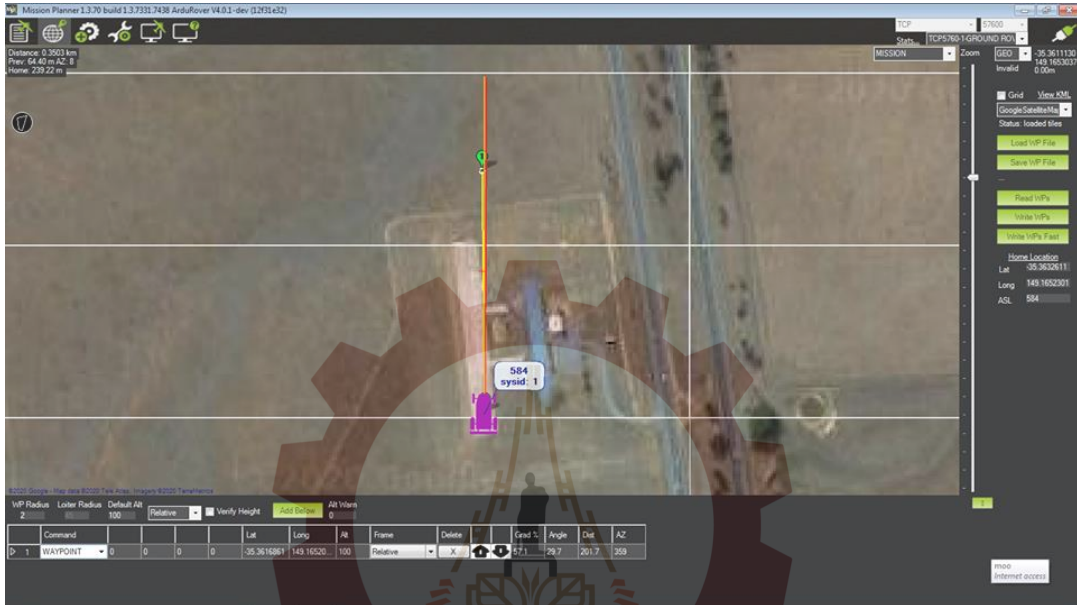
รูปที่ 4.2 การวิ่งแบบวงกลม



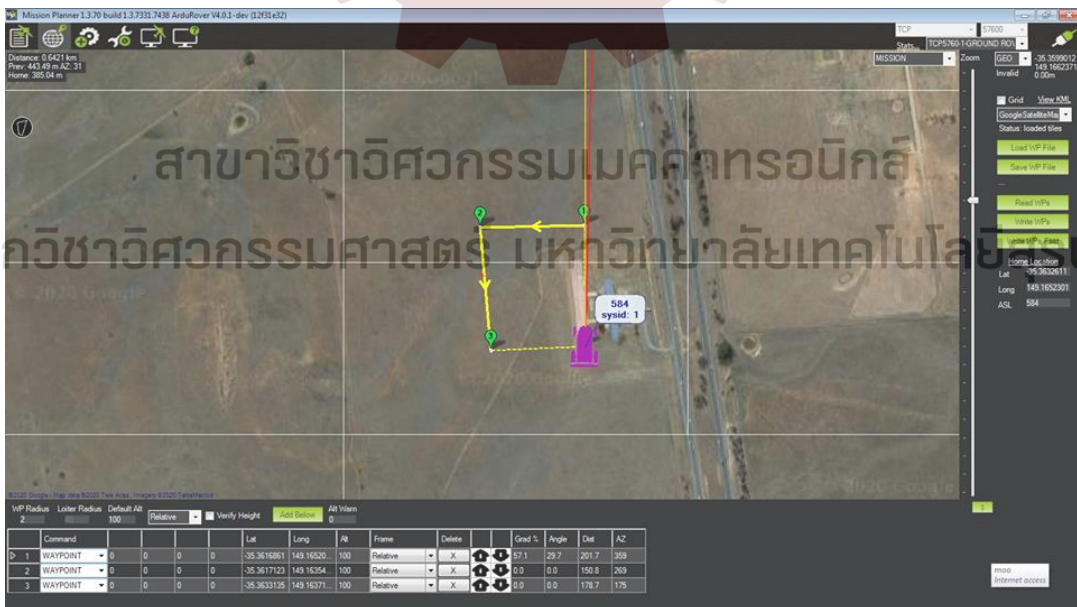
รูปที่ 4.3 การวิ่งแบบก้นหอย



รูปที่ 4.4 การวิ่งแบบพื้นปลา



รูปที่ 4.5 การวิ่งแบบตรง



รูปที่ 4.5 การวิ่งแบบสี่เหลี่ยมผืนผ้า

### วิจารณ์ผล

จากการทดสอบพบข้อบกพร่องในส่วนของระบบการเดินเครื่องใน โหมคอัตโนมัติซึ่งจะขึ้นอยู่กับสภาพความชื้นของสัญญาณ GPS ในสภาวะนั้นๆ ที่จะทำให้ความแม่นยำในการควบคุมการเดินตามเส้นทางของรถเก็บขยะนั้นถูกต้องและสภาพพื้นผิวมีผลต่อมุมเลี้ยว และจำนวนการส่งสัญญาณให้การเลี้ยวนั้นยังไม่เสถียรภาพเท่าที่ควร



สาขาวิชาวิศวกรรมเมคคาทรอนิกส์  
สำนักวิชาวิศวกรรมศาสตร์ มหาวิทยาลัยเทคโนโลยีสุรนารี

## บทที่ ๕

### สรุปและข้อเสนอแนะ

#### สรุปผลการทำโครงการ

จากผลการทดลองในการควบคุมระบบ manual และ auto สามารถควบคุมตัวรถได้ในระบบ manual สามารถควบคุมผ่าน remote control ได้ในคำสั่ง เดินหน้า ถอยหลัง เลี้ยวซ้าย เลี้ยวขวา และระบบ auto สามารถควบคุมให้รถวิ่งตามเส้นที่กำหนดบน GPS map จาก program mission planner ได้ และมีเพียงการ error จากมุมเลี้ยวเพียงเล็กน้อยคิดเป็น 1-2 % จากเส้นทางทั้งหมดในการควบคุมในระบบ auto นี้แสดงให้เห็นว่าเรานำระบบควบคุมของอากาศยานไร้คนขับ (Drone) นำมาใช้กับยานยนต์ที่ใช้งานบนพื้นราบได้ ซึ่งเงื่อนไขเพิ่มเติมอื่นๆ อาจนำไปพัฒนาต่อไปได้

#### ผลที่ได้จากการทดลอง

- 1) รถสามารถวิ่งตาม GPS map ได้ในระบบ auto ได้แต่ยังไม่สามารถควบคุมความเร็วให้เป็นไปตามที่ต้องการมากนัก
- 2) พบปัญหาในเรื่องมุมเลี้ยวถ้าเลี้ยวใน GPS map เป็นมุมที่มีความแคบมากเกินไป จะทำให้รถสูญเสียกำลังในการที่จะทำการเลี้ยวในจุดนั้นๆ จึงทำให้อุปกรณ์ในการจ่ายไฟเกิดความร้อนสูง (Overload) จึงทำให้ระบบตัดการทำงาน

#### ปัญหาที่พบเจอ

- 1) ระยะเวลาในการทำโครงการค่อนข้างเร่งรัด
- 2) ความชำนาญในตัวผู้ปฏิบัติงาน
- 3) การจัดหาอุปกรณ์บางส่วนใช้เวลานานเนื่องต้องสั่งจากต่างประเทศ
- 4) ขาดการวางแผนที่ชัดเจน
- 5) เครื่องมือและอุปกรณ์เสียหาย
- 6) ระบบการเชื่อมต่อค่อนข้างซับซ้อน
- 7) งบประมาณที่จำกัด

### ข้อเสนอแนะ

- 1) ควรจัดเตรียมอุปกรณ์และเครื่องมือให้พร้อมกว่านี้
- 2) การวางแผนการทำงานที่ชัดเจน
- 3) ควบคุมเรื่องงบประมาณการใช้จ่าย
- 4) ยืดระยะเวลาให้ยาวกว่านี้

### แนวทางการพัฒนาในอนาคต

- 1) การทำรถเก็บขยะแบบ Full Auto
- 2) ปรับปรุง hardware ให้สามารถทำงานร่วมกับอุปกรณ์ที่คำสั่งอื่นๆ เช่น board Arduino และ sensor ตรวจสอบสิ่งกีดขวางเพื่อให้ทำงานในพื้นที่ที่คับแคบและมีสิ่งกีดขวางได้

สาขาวิชาวิศวกรรมเมคคาทรอนิกส์

สำนักวิชาวิศวกรรมศาสตร์ มหาวิทยาลัยเทคโนโลยีสุรนารี

## รายการอ้างอิง

วิกิพีเธรานุกรมเสรี.(2562).ทฤษฎีระบบควบคุม[ออนไลน์]. ได้จาก:

<https://th.wikipedia.org/wiki/ทฤษฎีระบบควบคุม#ประวัติศาสตร์และการพัฒนาของทฤษฎีระบบควบคุม>

Google Cloud Print API for java. (2554).การคำนวณระยะห่างGPS 2 จุด[ออนไลน์]. ได้จาก:

<https://na5cent.blogspot.com/2011/07/gps-2-javascript.html>

GPS knowledge. (2549). ความรู้ทั่วไปเกี่ยวกับ GPS [ออนไลน์]. ได้จาก

<https://www.global5thailand.com/thai/gps.htm>

สาขาวิชาวิศวกรรมเมคคาทรอนิกส์

สำนักวิชาวิศวกรรมศาสตร์ มหาวิทยาลัยเทคโนโลยีสุรนารี

LM-Thesis. (2555). Ardupilot, MAVLink, Wireless networks [ออนไลน์]. ได้จาก:

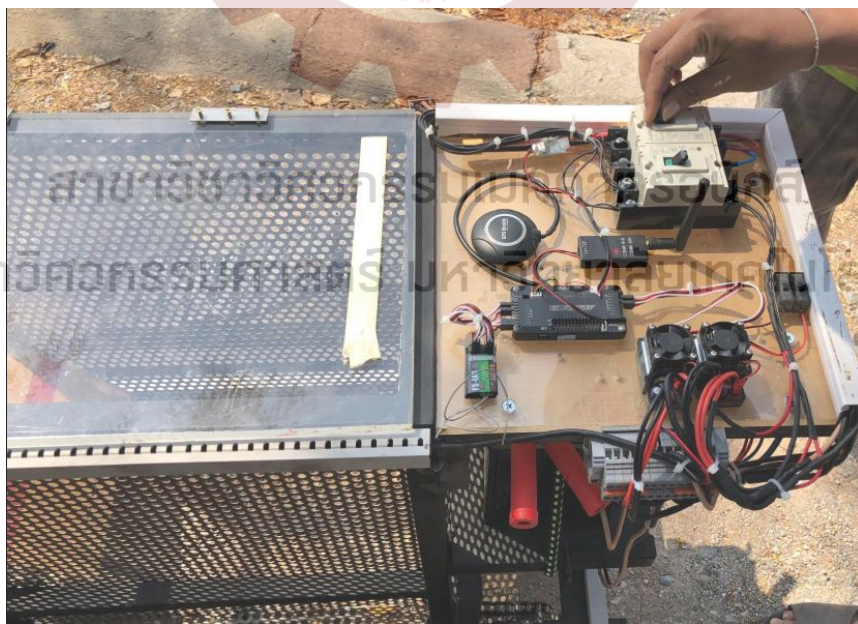
[https://www.LM\\_Thesis%20-%20body%20-%20Copy.com](https://www.LM_Thesis%20-%20body%20-%20Copy.com)

ภาคผนวก ก

ภาพในขั้นตอน Setup รถเก็บขยะ



สำนักวิชาวิศวกรรมศาสตร์ มหาวิทยาลัยเทคโนโลยีสุรนารี



สาขาวิชาวิศวกรรมอากาศยาน มหาวิทยาลัยเทคโนโลยีพระจอมเกล้าธนบุรี  
สำนักวิชาวิศวกรรมอากาศยาน มหาวิทยาลัยเทคโนโลยีพระจอมเกล้าธนบุรี มีสุนารี

Datasheet อุปกรณ์



11.2 Receiver specification (FS-iA6)

Channels	6
Model Type	Fixed-Wing/Glider/HELICOPTER
RF Range	2.408-2.475GHz
RF Channel	135
RF Receiver Sensitivity	- 105dBm
Bandwidth	500KHz
2.4GHz System	AFHDS 2A
Modulation Type	GFSK
Power	4.0-6.5V DC
Antenna Length	26mm(Dual Antenna)
Weight	7g
Size	40.4x21.1x15mm
I-BUS Port	No
Data Acquisition Port	No
Color	Black
Certificate	CE0678 , FCC ID:N4ZFLYSKYIA6



Test	Reference	Test Conditions
Temperature step test	ISO16750-4 IEC60068-2-1 IEC60068-2-2	Function tests at stable temperature. The temperature has to decrease in 5K steps from RT to -40°C followed by increase to +85°C in 5K steps.
Temperature cycling	IEC60068-2-14 Na	-40°C / +125°C, 300 cycles, air to air
Dry heat I ("desert")	IEC60068-2-2	No function
Damp heat II ("tropical")	IEC60068-2-3	+60°C / 5%RH, Toper max, Vccmax, 1000 hours, in function
High Temp Operating Life (Life span)	IEC60068-2-2	+60°C/95%RH, Toper max, Vccmax, 1000 hours, in function
Dry heat II	IEC60068-2-2	1000hrs @ 85°C Ta Toper max, Vccmax
Function test at Umin, Unom, Umax	IEC60068-2-2	+125°C, 1000 hours, no function
Function test at Umin, Unom, Umax	ISO16750-4 IEC60068-2-1	Function test at Umin, Unom, Umax 1 hour / voltage level
Damp heat cyclic	IEC60068-2-30 Db Variation 1	Test at -40°C, RT, +85°C +25°C → +55°C, >90% rH 6 cycles of 24 hours
Vibration in function	IEC60068-2-6	5-500 Hz, 5g; 2.5 hrs/axis at -40°C 2.5 hrs/axis at +85°C 3 hrs/axis at RT
Mechanical Shock	IEC60068-2-27 Ea	Total: 24 hours, function supervision 30g/11ms (half sine), 3 Shocks/axis, no function
Robustness of terminations of Surface Mounted Devices	IEC60068-2-21 Ue1	1mm/s +/- 0.5mm/s D=2mm
ESD (0-8kV)	IEC60922-A114 AEC-Q100-002	1 Bending cycle Duration on Dmax: 20s +/- 1s Voltage level: 2000V
ESD (MM)	IEC60922-A115 AEC-Q100-003	Voltage level: 200V

สาขาวิชาวิศวกรรมเมคคาทรอนิกส์

สำนักวิชาวิศวกรรมศาสตร์ มหาวิทยาลัยเทคโนโลยีสุรนารี

Description:

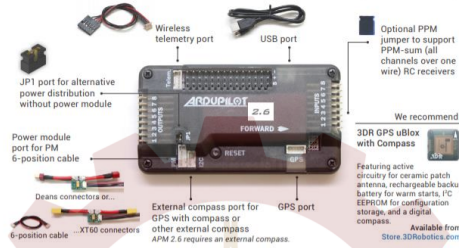
Item type:433Mhz OR 915Mhz Radio Module with antenna  
 Brand Name: HolyBro  
 Version: 433Mhz / 915Mhz ( Optional)  
 Item Name: 433Mhz 915Mhz 100mW Transceiver Radio Telemetry Set V3  
 Application: Compatible for Pixhawk 4 Flight Controller  
 Size: 26 x 53 x 10.7mm (without antenna)  
 Processing  
 - 100 mW maximum output power (adjustable) -117 dBm receive sensitivity  
 - Open-source SIK firmware  
 - RP-SMA connector  
 - 2-way full-duplex communication through adaptive TDM UART interface  
 - Transparent serial link  
 - MAVLink protocol framing  
 - Frequency Hopping Spread Spectrum (FHSS) Configurable duty cycle  
 - Error correction corrects up to 25% of bit errors Open-source SIK firmware  
 Configurable through Mission Planner & APM Planner  
 FT230X is a USB to BASIC UART IC  
 Power  
 - Supply Voltage: 5VDC (from USB or JST-GH)  
 - Transmit Current: 100 mA at 20dBm  
 - Receive current: 25 mA  
 - Serial interface: 3.3 V UART  
 Status LEDs  
 - The radios have 2 status LEDs, one red and one green. The meaning of the different LED states is:  
 - Green LED blinking - searching for another radio  
 - Green LED solid - link is established with another radio  
 - Red LED flashing - transmitting data  
 - Red LED solid - in firmware update mode  
 Connecting to Pixhawk4





**APM 2.6 FOR EXTERNAL MAGNETOMETER**

Providing the same advanced, multipatform capabilities as APM 2.5, the 2.6 revision of the award-winning APM autopilot is designed for an external magnetometer. This improves flight performance by allowing the compass module (or combined GPS with compass) to be placed further away from sources of potential magnetic interference.



- CONTENTS**
- APM 2.6 board with case
  - APM power module (PM)
  - PM 6-position cable
  - Micro USB cable
  - Telemetry adapter cable
  - JPI jumper connector (6 mm)
  - PPM jumper connector (6 mm)

**PLANE**  
To set up your APM 2.6 board using the APM:Plane firmware please visit:  
[PLANE.ARDUPILOT.COM](http://PLANE.ARDUPILOT.COM)

**COPTER**  
To set up your APM 2.6 board using the APM:Copter firmware, please visit:  
[COPTER.ARDUPILOT.COM](http://COPTER.ARDUPILOT.COM)

**ROVER**  
To set up your APM 2.6 board using the APM:Rover firmware, please visit:  
[ROVER.ARDUPILOT.COM](http://ROVER.ARDUPILOT.COM)



Out of control protection  
Low voltage protection  
Over-voltage protection  
With heat sink  
For 540 dual motor or single motor  
Operating system: forward, reverse, and brake  
With this power transfer would not have to worry about slow trim Motor Boats only need to replace the original power transfer  
Operational Guidelines:  
The right and a power supply battery connection on both ends of the wiring board the red line for positive, black, compared with negative. (Or standard DC battery connection plug)  
Dersonic male plug / 7-pin / banana plug  
ESC output red and black wires are connected to the red and black lines of the car 540 motor  
3. Open the ESC power switch, if no signal input, motor will send a beep - beep - beep "alarm sound"  
Turn the transmitter power signal injection will issue the voice of the duo - - "M", has been connected to prove the transmitted signal and receiving the electrical and mechanical tone.  
Power range: 7.2V-16V  
Input voltage (series): 6-12 cells NiMH/NiCd or 2-4 cells LiPo.  
Weight: 80g (including connectors and switches)  
BEC: 5.6V 2A  
Output current: forward 320A  
Color: Black  
Material: metal+plastic  
Size: 47\*42\*33mm  
Package Contents:  
1 x 320A Brushed ESC  
Only the above package content, other products are not included.  
Note: Light shooting and different displays may cause the color of the item in the picture a little different from the real thing. The measurement allowed error is +/- 1-3cm.



สาขาวิชาวิศวกรรมเมคคาทรอนิกส์

สำนักวิชาวิศวกรรมศาสตร์ มหาวิทยาลัยเทคโนโลยีสุรนารี

### ประวัติผู้เขียน



นาย อัสวานนท์ แสงสูงเนิน เกิดวันที่ 12 ตุลาคม 2530 ภูมิลำเนา ตำบลโป่งแดง อำเภอบางบาล จังหวัดนครราชสีมา สำเร็จการศึกษาประกาศนียบัตรวิชาชีพชั้นสูง สาขาวิชาเทคนิคการผลิต สาขางานแม่พิมพ์พลาสติก วิทยาลัยเทคนิคนครราชสีมา ปีการศึกษา 2553 ปัจจุบันเป็นนักศึกษาชั้นปีที่ 3 สาขาวิชาวิศวกรรมเมคคาทรอนิกส์ สำนักวิชาวิศวกรรมศาสตร์ มหาวิทยาลัยเทคโนโลยีสุรนารี โทร 082-263-9183 Email:assavanon@gmail.com



นาย ยุทธนา น้อยโลกสูง เกิดวันที่ 3 มกราคม 2538 ภูมิลำเนา ตำบลหนองสูง อำเภอเฉลิมพระเกียรติ จังหวัดนครราชสีมา สำเร็จการศึกษาระดับประกาศนียบัตรวิชาชีพชั้นสูง สาขาวิชาเครื่องกล สาขางานเทคนิคยานยนต์ วิทยาลัยเทคนิคนครราชสีมา ปีการศึกษา 2558 ปัจจุบันเป็นนักศึกษาชั้นปีที่ 3 สาขาวิชาวิศวกรรมเมคคาทรอนิกส์ สำนักวิชาวิศวกรรมศาสตร์ มหาวิทยาลัยเทคโนโลยีสุรนารี โทร 084-411-5426 Email:yuttana.ksr@gmail.com

### สำนักวิชาวิศวกรรมศาสตร์ มหาวิทยาลัยเทคโนโลยีสุรนารี



นาย สุรสิทธิ์ ชาวสวน เกิดวันที่ 16 ธันวาคม 2530 ภูมิลำเนา ตำบลบัวใหญ่ อำเภอบัวใหญ่ จังหวัดนครราชสีมา สำเร็จการศึกษาระดับประกาศนียบัตรวิชาชีพชั้นสูง สาขาวิชาไฟฟ้ากำลัง สาขางานติดตั้ง วิทยาลัยเทคนิคอุดรธานี ปีการศึกษา 2553 ปัจจุบันเป็นนักศึกษาชั้นปีที่ 3 สาขาวิชาวิศวกรรมเมคคาทรอนิกส์ สำนักวิชาวิศวกรรมศาสตร์ มหาวิทยาลัยเทคโนโลยีสุรนารี โทร 086-410-6361 Email:surasee70@gmail.com